

**Politechnika Wrocławska**  
**Wydział Informatyki i Telekomunikacji**

---

Kierunek: **Cyberbezpieczeństwo (CBE)**  
Specjalność: **Bezpieczeństwo w elektroenergetyce (CEN)**

**PRACA DYPLOMOWA**  
**INŻYNIERSKA**

**Analiza złośliwego oprogramowania za  
pomocą narzędzi informatyki śledczej**

Mikołaj Grzempa

Opiekun pracy  
**dr inż. Robert Czechowski**

**Słowa kluczowe:** analiza złośliwego oprogramowania, informatyka śledcza, środowisko Windows

---

WROCŁAW, 2023

## Streszczenie

W pracy przedstawiono możliwości analizy złośliwego oprogramowania WannaCry za pomocą automatycznych i półautomatycznych narzędzi informatyki śledczej oraz opisane zostały kroki pozwalające skonfigurować bezpieczne środowisko przy pomocy wirtualizacji wraz ze stworzoną izolowaną siecią. Podczas badania użyto narzędzi open-source, które pomagają w analizie statycznej i dynamicznej. Systemy wykorzystane w projekcie to Windows, na którym znajdować się będzie złośliwe oprogramowanie wraz z systemem Linux, który będzie pełnił rolę symulowanego serwera Command & Control. W celu uzyskania pełnego obrazu zachowania złośliwego oprogramowania przy pomocy dekompilacji zmieniony zostanie kod oprogramowania. Wynikiem pracy są znalezione podczas badania indykatory złośliwego oprogramowania, na podstawie których opracowane zostały metody blokowania ataków za pomocą sygnatur YARA. Wnioski przedstawione zostały w podsumowaniu.

**Słowa kluczowe:** analiza złośliwego oprogramowania, informatyka śledcza, środowisko Windows

## Abstract

The thesis presents the possibilities of analyzing the WannaCry malware using automated and semi-automated computer forensics tools, and describes the steps to set up a secure environment using virtualization with an isolated network created. During the study, open-source tools were used to help with static and dynamic analysis. The systems used in the project are Windows, which will host the malware, along with a Linux system, which will act as a simulated Command and Control server. In order to get a complete picture of the malware's behavior using decompilation, the software code will be changed. The results of the work are the malware indicators found during the study, based on which methods were developed to block attacks using YARA signatures. The conclusions are included in the summary.

**Keywords:** malware Analysis, Computer forensics, Windows environment

# Spis treści

<b>1. Wstęp teoretyczny</b>	<b>1</b>
1.1. Sformułowanie problemu	1
1.2. Podstawowe założenia	2
<b>2. Założenia projektowe</b>	<b>3</b>
2.1. Wirtualizacja	3
2.2. Środowisko do analizy (Windows)	3
2.2.1. Konfiguracja proxy	3
2.2.2. Konfiguracja Windows Defender oraz FireWall	4
2.2.3. Konfiguracja sieci w systemie windows	4
2.3. Środowisko symulujące <i>Command &amp; Control</i> (Linux)	5
2.4. Konfiguracja karty sieciowej	6
2.5. Narzędzia wykorzystywane podczas analizy	6
2.6. Nakładka na system (FlareVM)	7
<b>3. Analiza złośliwego oprogramowania</b>	<b>8</b>
3.1. Analiza Statyczna	8
3.1.1. Badanie Hash'y	8
3.1.2. Analiza ciągów znaków	10
3.1.3. Możliwości narzędzia PEstudio	11
3.2. Analiza Dynamiczna	13
3.2.1. Pierwsze uruchomienie złośliwego oprogramowania	13
3.2.2. Druga próba uruchomienia złośliwego oprogramowania	14
3.2.3. Analiza procesów narzędziem ProcMon	16
3.2.4. Analiza sieciowa przy pomocy TCPView	17
3.2.5. ProcessHacker	18
3.3. Automatyzacja analizy	19
3.3.1. Jupyter	19
3.3.2. Analiza plików w piaskownicy	19
3.3.3. DRAKVUF Sandbox	21
3.3.4. EnCase Forensic	21
3.4. Analiza wirtualnego dysku	21
3.4.1. Utworzenie kopii zapasowej	22
3.4.2. Analiza za pomocą narzędzia Volatility	22
<b>4. Analiza kodu</b>	<b>24</b>
4.1. Dekompilacja głównej części programu	24
4.1.1. Statyczna analiza głównej części programu	25
4.2. Analiza dynamiczna kodu	27
4.2.1. Opis działania narzędzia	27
4.2.2. Uruchomienie programu korzystając z <i>INetSim</i>	28
<b>5. Metody obrony</b>	<b>29</b>

---

5.1. Techniki znalezione podczas analizy . . . . .	29
5.2. Sygnatury dla narzędzi <i>EDR</i> . . . . .	29
<b>6. Podsumowanie . . . . .</b>	<b>31</b>
<b>Literatura . . . . .</b>	<b>32</b>

# Spis rysunków

2.1. Ustawienia proxy dla systemu Windows . . . . .	4
2.2. Konfiguracja DNS dla systemu Windows . . . . .	5
2.3. Usługi wykorzystywane przez <i>Inetsim</i> dla środowiska <i>Remnux</i> . . . . .	5
2.4. konfiguracja serwera DHCP . . . . .	6
2.5. Ustawienia sieci . . . . .	6
3.1. Wynik funkcji skrótu skompresowanego pliku . . . . .	8
3.2. Wynik funkcji skrótu oryginalnego pliku . . . . .	9
3.3. Skan skompresowanego oprogramowania WannaCry przez VirusTotal . . . . .	9
3.4. Skan oryginalnego oprogramowania WannaCry przez VirusTotal . . . . .	9
3.5. Skan URLa za pomocą VirusTotal . . . . .	10
3.6. Skan URL za pomocą Urlscan . . . . .	11
3.7. Dwa pierwsze bajty oprogramowania WannaCry . . . . .	11
3.8. Odwołania do plików . . . . .	11
3.9. Odwołania do nagłówków . . . . .	12
3.10. Pamięć nagłówków prezentowana przez PEstudio . . . . .	12
3.11. Wykorzystywane biblioteki przez złośliwe oprogramowanie WannaCry . . . . .	12
3.12. Połączenia API wykorzystywane przez złośliwe oprogramowanie . . . . .	13
3.13. Ruch sieciowy pobrany z narzędzia WireShark dla oprogramowania WannaCry (cz. 1) . . . . .	14
3.14. Ruch sieciowy pobrany z narzędzia WireShark dla oprogramowania WannaCry (cz. 2) . . . . .	14
3.15. Pogląd pulpitu po uruchomieniu złośliwego oprogramowania . . . . .	15
3.16. Pogląd plików zaszyfrowanych przez złośliwe oprogramowanie . . . . .	15
3.17. Nowy Folder złośliwego oprogramowania . . . . .	17
3.18. Aktywne połączenia WannaCry widoczne w narzędziu TCPview . . . . .	17
3.19. Zużycie zasobów przed uruchomieniem złośliwego oprogramowania . . . . .	18
3.20. Zużycie zasobów po uruchomieniu złośliwego oprogramowania . . . . .	18
3.21. Aktywne procesy widoczne w narzędziu ProcessHacker . . . . .	19
3.22. Funkcjonalność Jupyter - suma kontrolna . . . . .	19
3.23. Funkcjonalności any.run - konfiguracja środowiska . . . . .	20
3.24. Funkcjonalności any.run - panel główny . . . . .	20
3.25. Podgląd narzędzia DRAKVUF . . . . .	21
3.26. Podgląd zrzutu pamięci dysku wirtualnego . . . . .	22
3.27. Procesy wylistowane przy pomocy narzędzia Volatility . . . . .	22
3.28. Biblioteki wylistowane przy pomocy narzędzia Volatility . . . . .	23
3.29. Uprawnienia programu @WannDecryptor . . . . .	23
4.1. Zakładka graf narzędzia cutter . . . . .	26
4.2. Okno "FPU" w programie x32dbg . . . . .	27
4.3. Okno stosu w programie x32dbg . . . . .	27
4.4. Wartości pamięci po utworzeniu połączenia . . . . .	28
4.5. Wartości pamięci po zmianie flagi . . . . .	28

# Spis tabel

1.1. Wykaz najpopularniejszych kategorii złośliwego oprogramowania [9] . . . . .	1
3.1. Wykaz najpopularniejszych kategorii złośliwego oprogramowania . . . . .	10
3.2. Wykaz nagłówków wraz z opisem [19] . . . . .	13
3.3. Podstawowe ścieżki dla group policy . . . . .	16
3.4. Podstawowe funkcje rejestru . . . . .	16
3.5. Wykaz nagłówków wraz z opisem . . . . .	17
5.1. Sklasyfikowane i opisane znalezione metody ataku . . . . .	29

# Spis listingów

4.1. Kod złośliwego oprogramowania w dekompiatorze . . . . .	24
4.2. Funkcja fcn_0040890 oprogramowania w dekompiatorze . . . . .	25
5.1. Sygnatura Yara dla WannaCry . . . . .	30

# Skróty

**GPO** (ang. *Group Policy Object*)  
**MZ** (ang. *Mark Zbikowski*)  
**EDR** (ang. *Endpoint Detection and Response*)  
**C2** (ang. *Command and Control*)  
**DHCP** (ang. *Dynamic Host Configuration Protocol*)  
**URL** (ang. *Uniform Resource Locator*)  
**API** (ang. *Application Programming Interface*)  
**YARA** (ang. *Yet Another Ridiculous Acronym*)  
**HTTP** (ang. *Hypertext Transfer Protocol*)  
**ARP** (ang. *Address Resolution Protocol*)  
**CPU** (ang. *Central Processing Unit*)  
**SSDP** (ang. *Simple Service Discovery Protocol*)  
**IP** (ang. *Internet Protocol*)  
**SMB** (ang. *Server Message Block*)  
**RAM** (ang. *Random Access Memory*)  
**RODO** (ang. *General Data Protection Regulation*)  
**DNS** (ang. *Domain Name System*)  
**FPU** (ang. *Floating-Point Unit*)  
**LIFO** (ang. *Last In First Out*)  
**PID** (ang. *Process Identification*)  
**IOC** (ang. *Indicator of compromise*)



# Wprowadzenie

## Cel pracy

Celem pracy jest przygotowanie odizolowanego środowiska, w którym w bezpieczny sposób przeprowadzona będzie analiza złośliwego oprogramowania pod kątem zachowania zaaplikowanego złośliwego kodu. Środowisko to będzie odseparowane od sieci zewnętrznej oraz głównego hosta za pomocą wirtualizacji. Głównym celem pracy jest przedstawienie najważniejszych i najskuteczniejszych narzędzi przeznaczonych do analizy malware-u, przedstawienie technik analizy, wyników porównawczych skuteczności narzędzi oraz technik analitycznych.

## Zakres pracy

Zakres pracy obejmuje działania konieczne do poprawnego i efektywnego spełnienia celu pracy. Zadania zostały podzielone na 4 etapy, opisane w 4 kolejnych rozdziałach tej pracy. Ich zawartość przedstawiono poniżej.

### 1. Faza formułowania i analizy problemu:

- sformułowanie założeń projektowych i określenie metodologii badawczej,
- wprowadzenie do złośliwego oprogramowania.

### 2. Faza projektowania i implementacji.

- praktyczne zapoznanie się z instalacją i konfiguracją podstawowych narzędzi,
- przygotowanie stanowiska laboratoryjnego (zwirtualizowanego środowiska testowego),
- zdefiniowanie i aktywowanie złośliwego oprogramowania.

### 3. Faza analizy:

- przeprowadzenie testów i badań próbki (materiału), również pamięci RAM, wielu systemów operacyjnych (Linux/Windows) i różnych formatów plików hibernacji i snapshotów,
- zdefiniowanie listy uruchomionych procesów (PID, PPID), aktywnych połączeń, usług, *hash-y*, występowania szkodliwego oprogramowania.

### 4. Wnioski i podsumowanie

- klasyfikacja znalezionych technik,
- metody obrony przed złośliwym oprogramowaniem.

Po wykonaniu wszystkich wyżej wymienionych zadań, wyniki pracy zostaną podsumowane. Zostanie również zaprezentowana literatura wykorzystana podczas realizacji pracy.

# Rozdział 1

## Wstęp teoretyczny

### 1.1. Sformułowanie problemu

Złośliwe oprogramowanie na przestrzeni lat zyskało znaczną popularność. Na podstawie statystyk z 2022 roku przeprowadzonych przez firmę BlackFrog, można zauważyć wzrost zgłoszonych ataków ransomware o 29% względem roku 2021. Straty związane z konsekwencjami ataku szacuje się na 20 mld dolarów w roku 2021, a zgodnie z przewidywaniami liczba ta ma wzrosnąć nawet do 265 mld w przeciągu 10 lat [24].

Typy złośliwego oprogramowania możemy podzielić przynajmniej na pięć podstawowych kategorii, które zostały wymienione w **tabeli 1.1**.

**Tab. 1.1:** Wykaz najpopularniejszych kategorii złośliwego oprogramowania [9]

Typ	Przykład	Opis
Ransomware	WannaCry	Zadaniem tego oprogramowania jest uniemożliwienie użytkownikowi dostępu do plików i aplikacji, aby wymusić na nim okup.
Spyware	Pegasus	Spyware wykorzystywany jest do śledzenia i obserwowania zainfekowanych użytkowników.
Adware	Fireball	W sposób niekontrolowany wymusza pokazywanie reklam na ekranie użytkownika.
Trojany	Rakhni Trojan	Zadaniem trojanów jest podszywanie się pod znane aplikacje m. in. po to, żeby zmylić programy antywirusowe lub użytkowników.
Robaki	Morris Worm	Złośliwe oprogramowanie, mające na celu replikowanie na innych stacjach w tej samej sieci.
Rootkits	Uroburos Rootkit	Jego zadaniem jest pobranie informacji o użytkowniku i zdalny dostęp do sesji użytkownika.

Wzrost zainteresowania przestępców przełożył się na zwiększenie zapotrzebowania specjalistów w obszarze cyberbezpieczeństwa oraz konieczność stworzenia odpowiednich narzędzi do zapobiegania atakom. Jednakże, aby skutecznie bronić się przeciwko złośliwemu oprogramowaniu, należy je odpowiednio przeanalizować, zrozumieć oraz wdrożyć potrzebne zabezpieczenia.

## 1.2. Podstawowe założenia

Podstawowym założeniem projektu jest poddanie szczegółowej analizie wybranego złośliwego oprogramowania za pomocą narzędzi informatyki śledczej w bezpiecznym środowisku. W tym celu podzielono założenia według kategorii:

**1. Część konfiguracyjna środowiska:**

- przygotowanie wirtualnych maszyn,
- instalacja potrzebnych narzędzi,
- odizolowanie sieci domowej,
- symulacja sieci w obrębie skonfigurowanych maszyn.

**2. Część analityczna:**

- analiza statyczna,
- analiza dynamiczna,
- analiza kodu.

**3. Klasyfikacja zagrożeń i metody obrony:**

- klasyfikacja za pomocą bazy MITRE ATT&CK,
- opis znanych narzędzi EDR,
- utworzenie sygnatur wspomagających narzędzia EDR.

# Rozdział 2

## Założenia projektowe

Jednym z najbardziej znanych ataków powodujących zainfekowanie około 230.000 komputerów, był atak za pomocą WannaCry [11]. WannaCry to crypto ransomware, którego zadaniem jest szyfrowanie plików ofiar w celu wymuszenia okupu w postaci płatności za pomocą kryptowaluty bitcoin. Posłuży on jako przykład do lepszego zrozumienia działania złośliwego oprogramowania. Na podstawie analizy jego zachowania stworzone zostaną skuteczne metody zapobiegania niepożądanym aktywności programu.

### 2.1. Wirtualizacja

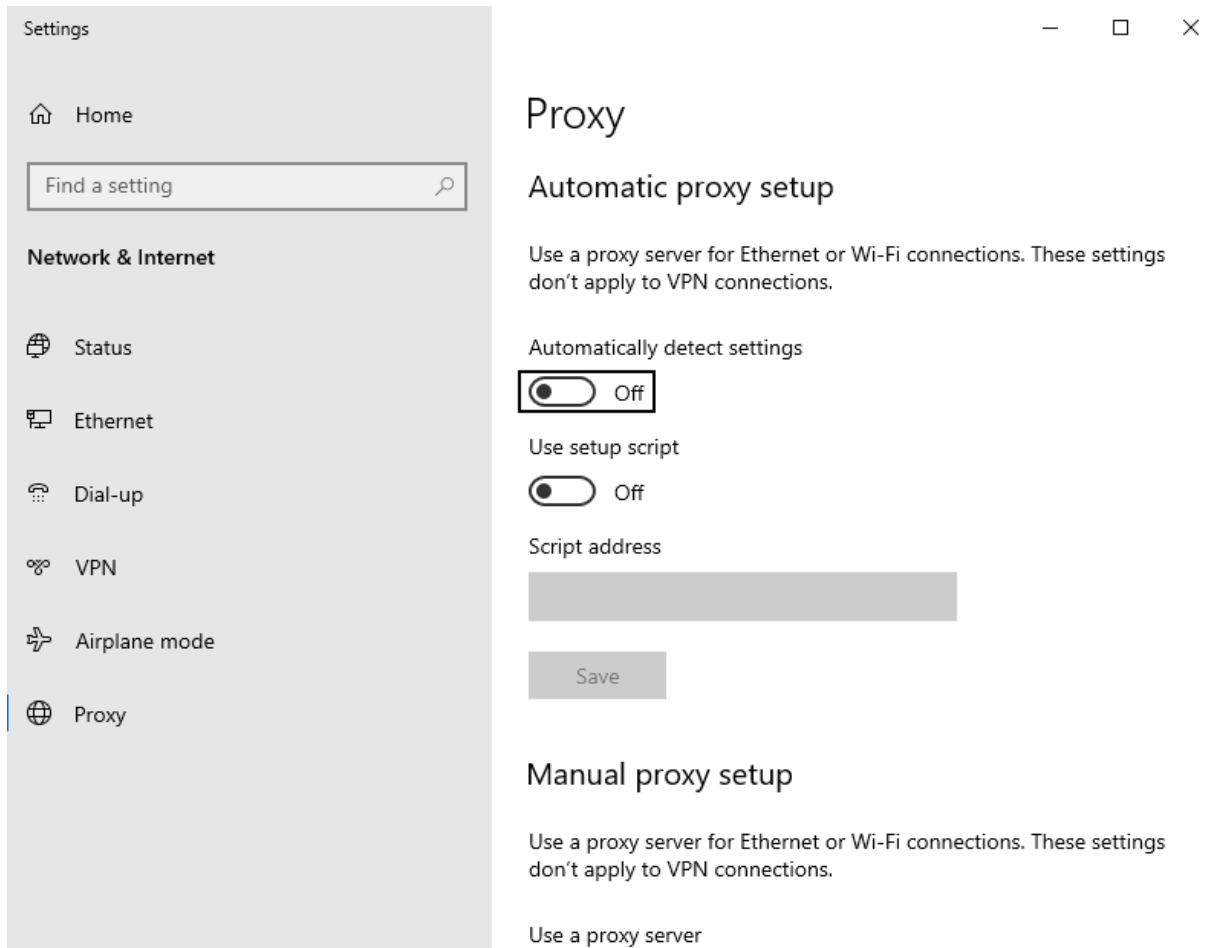
W celu bezpiecznego analizowania złośliwego oprogramowania, należy ocenić ryzyko i konsekwencje, jakie może spowodować nieodpowiednio skonfigurowane środowisko. Jedną z możliwości uniknięcia nieodwracalnych konsekwencji wprowadzenia złośliwego oprogramowania do swojego systemu jest wirtualizacja. Popularne narzędzie wykorzystujące wirtualizację to VirtualBox [28]. Zapewnia ono bezpieczeństwo, a dzięki wykorzystywaniu migawki, czyli zrzutu pamięci aktualnego stanu środowiska, użytkownik jest w stanie cofnąć niekontrolowane zmiany lub jeszcze raz przeprowadzić analizę.

### 2.2. Środowisko do analizy (Windows)

Ponieważ WannaCry został zaprojektowany dla środowiska Windows, w pracy wykorzystany zostanie obraz ISO dostępny na oficjalnej stronie Microsoft [15] w architekturze 64x. Podczas wyboru środowiska ważne jest, aby był to *Windows enterprise*, pomimo że niektóre z jego udostępnionych wersji wymagają dodatkowych kroków, takich jak instalacja *group policy*, z kolei nie pochodzi z oficjalnych źródeł Microsoft, przez co jest mniej zaufana i może być pozbawiona pewnych rozwiązań potrzebnych w dalszej części analizy. Inną możliwością przeprowadzenia badania było skorzystanie z licencji udostępnionej przez Politechnikę Wrocławską, jednak skutkowałoby to połączeniem prywatnego konta z domeną politechniki, wymuszając na użytkowniku stosowanie praktyk bezpieczeństwa, uniemożliwiając tym jednocześnie pełną analizę złośliwego oprogramowania.

#### 2.2.1. Konfiguracja proxy

Pierwszym krokiem podczas konfigurowania środowiska jest całkowite wyłączenie proxy, działanie to jest niezbędne, by dokonać pełnej analizy ruchu sieciowego. Ustawienia widoczne na **rysunku 2.1**.



Rys. 2.1: Ustawienia proxy dla systemu Windows

### 2.2.2. Konfiguracja Windows Defender oraz FireWall

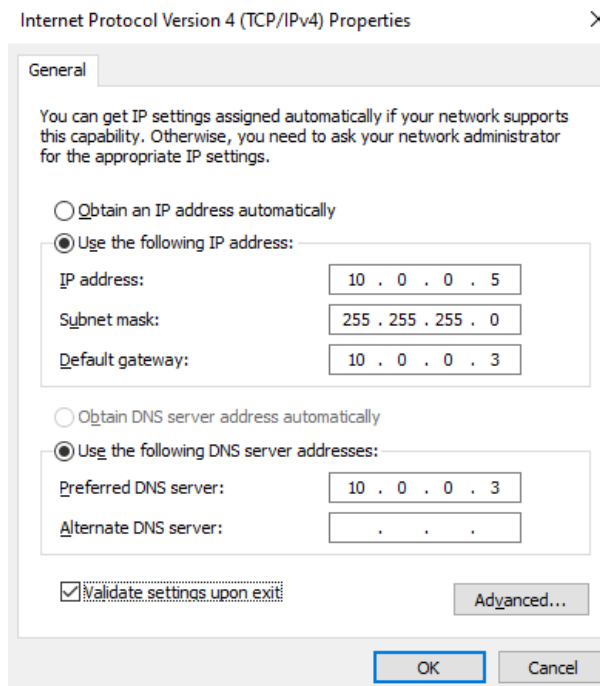
Współczesne antywirusy i *FireWall*'e wykorzystują sygnatury, które mogłoby uniemożliwić pełne zadziaływanie złośliwego oprogramowania WannaCry, dlatego podczas konfiguracji środowiska należy je wyłączyć za pomocą GPO, czyli zbioru zasad, reguł i ustawień dla systemu, które określają, jak użytkownik lub komputer ma postępować w danej sytuacji [22]. Ścieżka prowadząca do wymaganych opcji:

GPO → Administrative Templates → Windows Components → Microsoft Defender Antivirus → Enable “Turn off Microsoft Defender Antivirus”

GPO → Administrative Templates → Network → Network Connections → Windows Defender Firewall → Domain Profile → Disable “Protect All Network Connections”

### 2.2.3. Konfiguracja sieci w systemie windows

Ostatnim krokiem w konfiguracji środowiska jest statyczne ustawienie sieci IPv4, zgodnie z **rysunkiem 2.2**. Celem tego jest przekierowanie ruchu DNS na skonfigurowany w dalszej części pracy *INetSim* [26].



Rys. 2.2: Konfiguracja DNS dla systemu Windows

## 2.3. Środowisko symulujące *Command & Control* (Linux)

Serwery *Command & Control*, często określane jako C2, służą cyberprzestępcom do zarządzania komunikacją i kontrolą nad urządzeniami zainfekowanymi przez złośliwe oprogramowanie. W celu symulacji usług potrzebnych do prawidłowego działania złośliwego oprogramowania wykorzystany zostanie system *REMinux* [31] wraz z dostępnym oprogramowaniem symulującym usługi sieciowe *INetSim*. Potrzebne usługi widoczne są na **rysunku 2.3** Umożliwi to oszukanie złośliwego oprogramowania, symulując działający serwer C2 z którym będzie chciał się połączyć.

```
remnux@remnux: ~
remnux@remnux:~$ inetsim
INetSim 1.3.2 (2020-05-19) by Matthias Eckert & Thomas Hungenberg
Using log directory: /var/log/inetsim/
Using data directory: /var/lib/inetsim/
Using report directory: /var/log/inetsim/report/
Using configuration file: /etc/inetsim/inetsim.conf
Parsing configuration file.
Configuration file parsed successfully.
=== INetSim main process started (PID 1529) ===
Session ID: 1529
Listening on: 10.0.0.3
Real Date/Time: 2023-11-18 13:34:32
Fake Date/Time: 2023-11-18 13:34:32 (Delta: 0 seconds)
Forking services...
* pop3_110_tcp - started (PID 1538)
* dns_53_tcp_udp - started (PID 1533)
* smtps_465_tcp - started (PID 1537)
* ftp_21_tcp - started (PID 1540)
* pop3s_995_tcp - started (PID 1539)
* http_80_tcp - started (PID 1534)
* smtp_25_tcp - started (PID 1536)
* ftps_990_tcp - started (PID 1541)
* https_443_tcp - started (PID 1535)
```

Rys. 2.3: Usługi wykorzystywane przez *Inetsim* dla środowiska *Remnux*

## 2.4. Konfiguracja karty sieciowej

Ostatnim elementem konfiguracji jest odizolowanie sieci domowej od stworzonych wcześniej środowisk. Izolacja ma za zadanie nie dopuścić do rozprzestrzenienia się złośliwego oprogramowania po dostępnych urządzeniach w sieci domowej. Wykorzystane zostaną do tego rozwiązania oferowane przez *VirtualBox*. Na potrzeby pracy wykorzystana zostanie pula adresów klasy A - 10.0.0.1/24. Prawidłowa konfiguracja serwera DHCP została pokazana na **rysunku 2.4**.

The screenshot shows the 'Karta' (Network) configuration window for a DHCP server. The 'Włącz serwer' (Enable server) checkbox is checked. The configuration fields are as follows:

Field	Value
Adres serwera:	10.0.0.2
Maska serwera:	255.255.255.0
Dolna granica adresów:	10.0.0.3
Górna granica adresów:	10.0.0.254

Rys. 2.4: konfiguracja serwera DHCP

Następnie należy ustawić stworzoną wcześniej kartę sieciową do obu środowisk oraz podłączyć ją do sieci izolowanej (host only). Rysunek poglądowy 2.5

### Sieć

The screenshot shows the 'Sieć' (Network) configuration window. The 'Karta 1' (Network Card 1) tab is selected. The 'Włącz kartę sieciową' (Enable network card) checkbox is checked. The configuration is as follows:

Field	Value
Podłączona do:	Karta sieci izolowanej (host-only)
Nazwa:	VirtualBox Host-Only Ethernet Adapter #2

A 'Zaawansowane' (Advanced) button is located below the configuration fields.

Rys. 2.5: Ustawienia sieci

## 2.5. Narzędzia wykorzystywane podczas analizy

Istnieje wiele narzędzi wykorzystywanych w informatyce śledczej, rozpoczynając od podstawowych narzędzi, takich jak edytory heksadecymalne, a kończąc na złożonych systemach do symulacji sieciowych i analizy behawioralnej, które są niezbędne w pracy każdego analityka

bezpieczeństwa. Wiedza o tych narzędziach i umiejętność ich efektywnego wykorzystania stanowią podstawę skutecznego reagowania na incydenty bezpieczeństwa. Programy wykorzystane w pracy to:

**1. Analiza statyczna:**

- Sha256,
- md5sum,
- Floss,
- PEview,
- Pestudio,
- VirusTotal,
- Cutter,
- Ida Pro.

**2. Analiza dynamiczna:**

- Procmon,
- WireShark,
- process hacker 2,
- x32,
- tcpview,
- volatility forensics.

## **2.6. Nakładka na system (FlareVM)**

FlareVM [12] jest to nakładka o otwartym kodzie źródłowym przeznaczona dla zespołów security stworzona na wirtualne środowiska *Windows*, która automatycznie instaluje zestaw narzędzi umożliwiających analizę złośliwego oprogramowania. Instalacja wymaga interpretera poleceń *powershell* przynajmniej w wersji 5.0 oraz wyłączonego antywirusa.



## Rozdział 3

# Analiza złośliwego oprogramowania

Zgodnie z wcześniejszymi założeniami, część analityczna pracy zostanie podzielona na dwie kategorie, które opisane zostaną w dalszej części pracy. Przed rozpoczęciem badania należy upewnić się, że prawidłowo zostało skonfigurowane środowisko oraz wykonać zrzut pamięci wykorzystując z funkcji "zrób migawkę" oferowanej przez *VirtualBox*.

### 3.1. Analiza Statyczna

Analiza statyczna polega na szczegółowym przeglądzie kodu źródłowego lub binarnej struktury pliku, co pozwala na wykrycie specyficznych elementów, takich jak niejawne funkcje czy wykorzystywane słabości, bez konieczności uruchamiania samego oprogramowania [10].

#### 3.1.1. Badanie Hash'y

Hash'em nazywamy wynik działania operacji matematycznej (nazywanej funkcją skrótu) na określonym ciągu znaków (np. na hasło lub pliku). Funkcja ta przekształca podane przez użytkownika dane wejściowe (np. hasło) na krótką, posiadającą stały rozmiar wartość znakową [4]. W celu analizy Hash'y wykorzystany zostanie VirusTotal [5], który umożliwia skanowanie poszczególnych plików, funkcji skrótu i linków i przedstawia wyniki pozwalające stwierdzić ewentualną infekcję złośliwym oprogramowaniem. Serwis ten wykorzystuje około 85 skanerów antywirusowych [30].

Jednym ze sposobów ukrycia złośliwego oprogramowania przed antywirusami, jest skorzystanie z kompresji plików. Porównując wyniki przedstawione na **rysunkach 3.1** oraz **3.2** można zauważyć różnicę w otrzymanych wartościach.

```
C:\Users\Miki\Desktop
λ md5sum Ransomware.wannacry.exe.malz.7z
4d9c771619255c9b937c34b4c50cec7e *Ransomware.wannacry.exe.malz.7z

C:\Users\Miki\Desktop
λ sha256sum Ransomware.wannacry.exe.malz.7z
adb41a37499a6f0f5b1e58b1973367dd34a695293dc1fed601c79d21fd0754c1 *Ransomware.wannacry.exe.malz.7z
```

Rys. 3.1: Wynik funkcji skrótu skompresowanego pliku

```

C:\Users\Miki\Desktop
λ md5sum Ransomware.wannacry.exe.malz
db349b97c37d22f5ea1d1841e3c89eb4 *Ransomware.wannacry.exe.malz

C:\Users\Miki\Desktop
λ sha256sum Ransomware.wannacry.exe.malz
24d004a104d4d54034dbcffc2a4b19a11f39008a575aa614ea04703480b1022c *Ransomware.wannacry.exe.malz

```

Rys. 3.2: Wynik funkcji skrótu oryginalnego pliku

Poprzez kompresję plików zmienia się *hash* pliku oraz następuje zaciemnienie kodu. Antywirusy, których wynik skanu bazuje tylko na sygnaturach, może okazać się niewystarczający do zachowania bezpieczeństwa. Wyniki skanu antywirusów na podstawie sygnatur zostały umieszczone na **rysunkach 3.3 i 3.4**.

adbf41a37499a6f0f5b1e58b1973367dd34a695293dc1fed601c79d21fd0754c1

Ransomware.wannacry.exe.malz.7z

Size: 3.40 MB | Last Analysis Date: 2 months ago

Community Score: 1 / 59

1 security vendor and no sandboxes flagged this file as malicious

DETECTION DETAILS RELATIONS COMMUNITY 1

Join the VT Community and enjoy additional community insights and crowdsourced detections, plus an API key to automate checks.

Security vendors' analysis

Vendor	Detection	Vendor	Detection
NANO-Antivirus	Trojan.Win32.Wanna.eoqegc	Acronis (Static ML)	Undetected
AhnLab-V3	Undetected	ALYac	Undetected
Antiy-AVL	Undetected	Arcabit	Undetected
Avast	Undetected	AVG	Undetected
Avira (no cloud)	Undetected	Baidu	Undetected
BitDefender	Undetected	BitDefenderTheta	Undetected
Bkav Pro	Undetected	ClamAV	Undetected

Rys. 3.3: Skan skompresowanego oprogramowania WannaCry przez VirusTotal

24d004a104d4d54034dbcffc2a4b19a11f39008a575aa614ea04703480b1022c

Ransomware.wannacry.exe

Size: 3.55 MB | Last Analysis Date: 4 days ago

Community Score: 70 / 172

70 security vendors and 5 sandboxes flagged this file as malicious

DETECTION DETAILS RELATIONS BEHAVIOR COMMUNITY 30+

Join the VT Community and enjoy additional community insights and crowdsourced detections, plus an API key to automate checks.

Popular threat label: trojan.wannacry/wanna

Threat categories: trojan ransomware worm

Family labels: wannacry wanna wannacryptor

Security vendors' analysis

Vendor	Detection	Vendor	Detection
Acronis (Static ML)	Suspicious	AhnLab-V3	Trojan.Win32.WannaCry.R200572
Alibaba	Ransom.Win32.WannaCry.398	ALYac	Trojan.Ransom.WannaCry
Antiy-AVL	Trojan[Ransom].Win32.Wanna	Arcabit	Trojan.Ransom.WannaCry.H
Avast	Sf.WNCryLdr-A [Trj]	AVG	Sf.WNCryLdr-A [Trj]
Avira (no cloud)	TR/Ransom.IZ	Baidu	Win32.Worm.Rbot.a
BitDefender	Trojan.Ransom.WannaCry.H	BitDefenderTheta	Gern.NN.ZexaF.36792.ITG@aePsbmpi

Rys. 3.4: Skan oryginalnego oprogramowania WannaCry przez VirusTotal

Analizując wyniki skanów, można zauważyć, że tylko jeden z pięćdziesięciu dziewięciu skanerów, był w stanie określić skompresowany plik WannaCry jako niebezpieczny. Wynik skanu dla oryginalnego pliku jednoznacznie wskazuje na Ransomware.

### 3.1.2. Analiza ciągów znaków

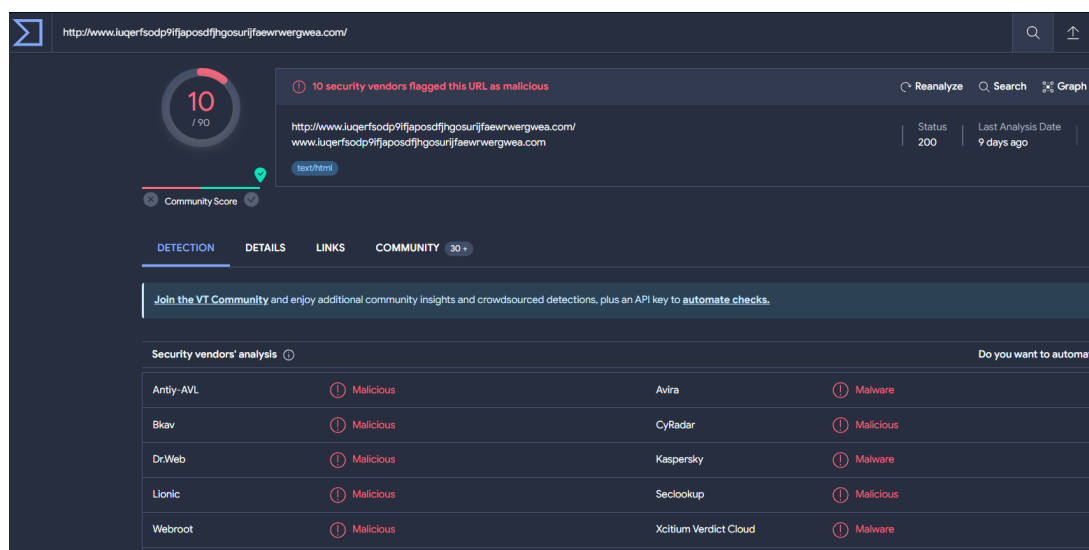
W celu zautomatyzowania i przyspieszenia szukania czytelnych znaków w pliku, wykorzystany w pracy zostanie program Floss [29].

Wynik narzędzia Floss zawiera w sobie wiele niepotrzebnych dla projektu informacji, dlatego te wartości zostały opisane w **tablicy 3.1.** wraz ze wskazaniem, do czego może zostać wykorzystany dany ciąg znaków.

**Tab. 3.1:** Wykaz najpopularniejszych kategorii złośliwego oprogramowania

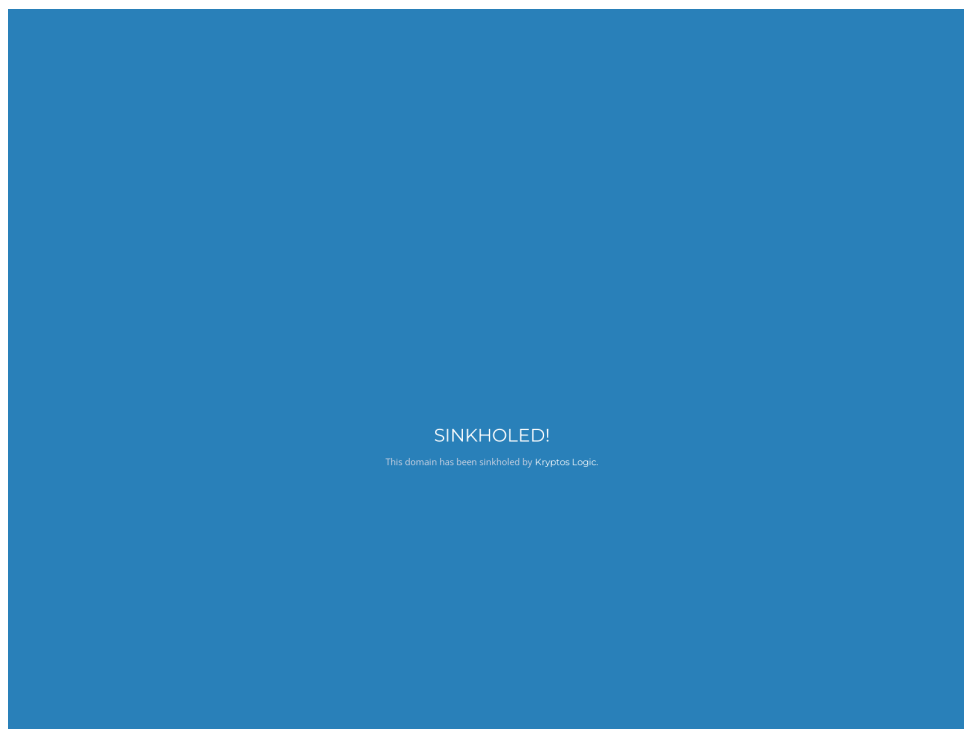
Ciąg znaków	Opis
C:/%s/qeriuwjhrf	Jest to ścieżka w której zostanie pobrany lub stworzony plik.
http://www.iuqerfsow....com	Adres URL z którym łączy się złośliwe oprogramowanie.
CryptDecrypt	Połączenie API może posłużyć do szyfrowania danych.
IsDebuggerPresent	Połączenie API prawdopodobnie wykorzystane do zmiany zachowania pliku w momencie debugowania.
cmd.exe /c "%s"115p7UMMngoj1pMvkrLn...	Wywołanie komendy poprzez cmd.
attrib +h	Ukrywa daną ścieżkę lub plik.
Sleep	Połączenie API służy do opóźnienia działania programu w celu nierozpoznania przez systemy antywirusowe lub sandboxy.
InternetCloseHandle	Połączenie API do odczytania stanu połączenia internetowego.

URL znaleziony podczas analizy został sklasyfikowany przez VirusTotal jako podejrzany. Wynik analizy przedstawia **rysunek 3.6**.



**Rys. 3.5:** Skan URLa za pomocą VirusTotal

Korzystając z narzędzia Urlscan dostępnego pod linkiem <https://urlscan.io/> można stwierdzić, że strona ta została zawieszona przez **kryptoslogic.com**, czyli firmę zajmującą się bezpieczeństwem.



**Rys. 3.6:** Skan URL za pomocą Urlscan

Bazując na samych *stringach*, można wysunąć wniosek, że oprogramowanie to po połączeniu ze stroną internetową pobiera dodatkową zawartość, jednocześnie szyfrując dane użytkownika. Hipoteza ta zostanie sprawdzona w dalszej części pracy.

### 3.1.3. Możliwości narzędzia PEstudio

Jednym z najlepszych narzędzi do statycznej analizy jest "PEstudio". Pierwszą rzeczą, którą możemy wywnioskować po przeanalizowaniu złośliwego oprogramowania przez PEstudio są dwa pierwsze bajty. Określają one rozszerzenie, z którego korzysta plik. W przypadku oprogramowania WannaCry jest to MZ, czyli plik wykonywalny z rozszerzeniem *.exe*. Rysunek poglądowy 3.7.

first-bytes > hex	4D 5A 90 00 03 00 00 00 04 00 00 00 FF FF 00 00 B8 00 00 00 00 00 00 40 00 00 00 00 00 00
first-bytes > text	MZ .. .. . @ .. .. .

**Rys. 3.7:** Dwa pierwsze bajty oprogramowania WannaCry

Kolejną ważną rzeczą znaną przy pomocy narzędzia jest indyktor trzech innych plików, do których odwołuje się złośliwe oprogramowanie. Nazwy plików przedstawione są na **rysunku 3.8**

indicator (36)	detail	level
<a href="#">file &gt; embedded</a>	signature: executable, location: .data, offset: 0x0000B020, size: 5263716 (...)	1
<a href="#">file &gt; embedded</a>	signature: executable, location: .data, offset: 0x0000F080, size: 5297524 (...)	1
<a href="#">file &gt; embedded</a>	signature: executable, location: .rsrc, offset: 0x000320A4, size: 3514368 (...)	1

**Rys. 3.8:** Odwołania do plików

Narzędzie PEstudio zawiera też funkcjonalności narzędzi wymienionych wcześniej, takie jak analiza stringów wraz z przyporządkowaniem do odpowiedniej taktyki opisanej w MITRE ATT&CK lub też informację dotyczące *Hash'a* dla algorytmu SHA256. Odwołania do nagłówków zostały przedstawione na **rysunku 3.9**

footprint (10)	value
<b>general</b>	
<a href="#">file &gt; sha256</a>	<a href="#">24D004A104D4D54034DBCFFC2A4B19A11F39008A575AA614EA04703480B1022C</a>
<a href="#">dos-stub &gt; sha256</a>	<a href="#">57CA1D7508C252D07E1780DCBA940B59B5044B132756318FDCACD3C11B4A7351</a>
<a href="#">dos-header &gt; sha256</a>	<a href="#">6C382A1C16DBA41B4FF6F0D728E9E92AEBFE2EE0C7FEB30A0E63B15EAF6C4B44</a>
<a href="#">rich-header &gt; sha256</a>	<a href="#">D4496034DE1F5AF97B361FCDC86EB5D939978830DFF8BF01B6AB3C93961AA425</a>
<a href="#">section &gt; .text &gt; sha256</a>	<a href="#">7609ECC798A357DD1A2F0134F9A6EA06511A8885EC322C7ACD0D84C569398678</a>
<a href="#">section &gt; .rdata &gt; sha256</a>	<a href="#">532E9419F23EAF5EB0E8828B211A7164CBF80AD54461BC748C1EC2349552E6A2</a>
<a href="#">section &gt; .data &gt; sha256</a>	<a href="#">6F93FB1B241A990ECC281F9C782F0DA471628F6068925AAF580C1B1DE86BCE8A</a>
<a href="#">section &gt; .rsrc &gt; sha256</a>	<a href="#">1EFE677209C1284357EF0C7996A1318B7DE3836DFB11F97D85335D6D3B8A8E42</a>
<a href="#">resource &gt; executable &gt; sha256</a>	<a href="#">ED01EBFBC9EB5BBEA545AF4D01BF5F1071661840480439C6E5BABE8E080E41AA</a>
<a href="#">version &gt; sha256</a>	<a href="#">2F3FC51546ADA84DFC8E775554C0DE3689D6FAE7BA4BF3D40E3C8DEC68B277B</a>

**Rys. 3.9:** Odwołania do nagłówków

Można również zauważyć wartości nagłówków. Opis znajduje się w **tabeli 3.4**. Porównując wartości poszczególnych plików wierszy "raw-size" oraz "virtual size" można też określić, czy pliki zostały skompresowane. Wartości te nie powinny się od siebie znacząco różnić. Wartości nagłówków przedstawia **rysunek 3.12**

property	value	value	value	value
<b>headers</b>	<b>header[0]</b>	<b>header[1]</b>	<b>header[2]</b>	<b>header[3]</b>
name	.text	.rdata	.data	.rsrc
<a href="#">footprint &gt; sha256</a>	7609ECC798A357DD1A2F01...	532E9419F23EAF5EB0E8828B...	6F93FB1B241A990ECC281F9...	1EFE677209C1284357EF0C79...
entropy	6.135	3.504	6.100	7.995
file-ratio (99.89%)	0.99 %	0.11 %	4.29 %	94.50 %
raw-address (begin)	0x00001000	0x0000A000	0x0000B000	0x00032000
raw-address (end)	0x0000A000	0x0000B000	0x00032000	0x0038D000
raw-size (3719168 bytes)	0x00009000 (36864 bytes)	0x00001000 (4096 bytes)	0x00027000 (159744 bytes)	0x0035B000 (3518464 bytes)
virtual-address	0x00001000	0x0000A000	0x0000B000	0x00310000
virtual-size (6718034 bytes)	0x00008BCA (35786 bytes)	0x00000998 (2456 bytes)	0x0030489C (3164316 bytes)	0x0035A454 (3515476 bytes)

**Rys. 3.10:** Pamięć nagłówków prezentowana przez PEstudio

Kolejną z opcji programu PEstudio jest "libraries". Zakładka ta pozwala na zapoznanie się z bibliotekami, z których korzysta przez złośliwe oprogramowanie oraz oznacza te często wykorzystywane są w sposób podejrzany. Złośliwe oprogramowanie użytkuje biblioteki wbudowane w system, takie jak *KERNEL32.DLL*, tworzyć własne, korzystać z bibliotek innego oprogramowania np. *msedge\_elf.dll* lub je modyfikować wstrzykując niebezpieczny kod. Informację te będą klucze w budowaniu sygnatur YARA.

library (7)	duplicate (0)	flag (3)	first-thunk-original (INT)	first-thunk (IAT)	type (1)	imports (91)	group	description
<a href="#">KERNEL32.dll</a>	-	-	0x0000A2B0	0x0000A030	implicit	32	-	Windows NT BASE API Client
<a href="#">ADVAPI32.dll</a>	-	-	0x0000A280	0x0000A000	implicit	11	-	Advanced Windows 32 Base API
<a href="#">WS2_32.dll</a>	-	x	0x0000A3C4	0x0000A144	implicit	13	network	Windows Socket Library
<a href="#">MSVCP60.dll</a>	-	-	0x0000A334	0x0000A0B4	implicit	2	-	Windows C Runtime Library
<a href="#">iphlpapi.dll</a>	-	x	0x0000A3FC	0x0000A17C	implicit	2	network	IP Helper API
<a href="#">WININET.dll</a>	-	x	0x0000A3B4	0x0000A134	implicit	3	network	Internet Extensions for Win32 Library
<a href="#">MSVCRT.dll</a>	-	-	0x0000A340	0x0000A0C0	implicit	28	-	Microsoft C Runtime Library

**Rys. 3.11:** Wykorzystywane biblioteki przez złośliwe oprogramowanie WannaCry

Zakładka "imports" zawiera w sobie połączenia API i tak jak w przypadku zakładki "libraries" oznacza te, które mogą zostać użyte w sposób niewłaściwy oraz przypisuje je do odpowiedniej taktyki MITRE ATT&CK. Opis poszczególnych połączeń można znaleźć pod linkiem <https://malapi.io> [18].

imports (91)	flag (28)	first-thunk-original (INT)	first-thunk (IAT)	hint	group (16)	technique (8)	type (1)	ordinal (13)	library (7)
<a href="#">ChangeServiceConfig2A</a>	x	0x0000A6C0	0x0000A6C0	52 (0x0034)	services	T1569   System Services	implicit	-	ADVAPI32.dll
<a href="#">CloseServiceHandle</a>	-	0x0000A672	0x0000A672	62 (0x003E)	services	T1569   System Services	implicit	-	ADVAPI32.dll
<a href="#">OpenSCManagerA</a>	-	0x0000A69A	0x0000A69A	429 (0x01AD)	services	T1569   System Services	implicit	-	ADVAPI32.dll
<a href="#">StartServiceA</a>	-	0x0000A662	0x0000A662	585 (0x0249)	services	T1569   System Services	implicit	-	ADVAPI32.dll
<a href="#">CreateServiceA</a>	x	0x0000A688	0x0000A688	100 (0x0064)	services	T1543   Create or Modify System Process	implicit	-	ADVAPI32.dll
<a href="#">OpenServiceA</a>	-	0x0000A714	0x0000A714	431 (0x01AF)	services	T1543   Create or Modify System Process	implicit	-	ADVAPI32.dll
<a href="#">SetServiceStatus</a>	-	0x0000A6AC	0x0000A6AC	580 (0x0244)	services	T1543   Create or Modify System Process	implicit	-	ADVAPI32.dll
<a href="#">Sleep</a>	-	0x0000A408	0x0000A408	854 (0x0356)	execution	T1497   Sandbox Evasion	implicit	-	KERNEL32.dll
<a href="#">GetTickCount</a>	-	0x0000A410	0x0000A410	479 (0x01DF)	reconnaissance	T1124   System Time Discovery	implicit	-	KERNEL32.dll
<a href="#">RegisterServiceCtrlHandlerA</a>	-	0x0000A6D8	0x0000A6D8	524 (0x020C)	services	T1106   Execution through API	implicit	-	ADVAPI32.dll
<a href="#">MoveFileExA</a>	x	0x0000A576	0x0000A576	623 (0x026F)	file	T1105   Remote File Copy	implicit	-	KERNEL32.dll
<a href="#">GetCurrentThreadid</a>	x	0x0000A524	0x0000A524	326 (0x0146)	execution	T1057   Process Discovery	implicit	-	KERNEL32.dll
<a href="#">CryptAcquireContextA</a>	x	0x0000A638	0x0000A638	133 (0x0085)	cryptography	T1027   Obfuscated Files or Information	implicit	-	ADVAPI32.dll
<a href="#">CryptGenRandom</a>	x	0x0000A650	0x0000A650	150 (0x0096)	cryptography	T1027   Obfuscated Files or Information	implicit	-	ADVAPI32.dll
<a href="#">rand</a>	x	0x0000A824	0x0000A824	678 (0x02A6)	cryptography	T1027   Obfuscated Files or Information	implicit	-	MSVCRT.dll
<a href="#">srand</a>	x	0x0000A852	0x0000A852	692 (0x02B4)	cryptography	T1027   Obfuscated Files or Information	implicit	-	MSVCRT.dll

Rys. 3.12: Połączenia API wykorzystywane przez złośliwe oprogramowanie

Tab. 3.2: Wykaz nagłówków wraz z opisem [19]

Ciąg znaków	Opis
.text	Zawiera instrukcję wykonywane przez CPU, powinno być to jedyne miejsce w którym trzymany jest kod
.rdata	Zawiera importowane i eksportowane informacje w statusie read-only, z tego pliku najczęściej pobierane są informacje wykorzystywane przez PEStudio
.rsrc	Przetrzykuje informacje takie jak: ikony, obrazy, string'i
.data	Umieszczone są w nim globalne dane, dostępne w każdym etapie programu

## 3.2. Analiza Dynamiczna

Analiza dynamiczna jest nazywana również „analizą behawioralną”, ponieważ ocenia malware na podstawie jego złośliwego zachowania. Ten typ analizy wykrywa zmiany wprowadzane w systemach „na żywo” – jest także bardziej niebezpieczny, gdyż dochodzi w nim do wykonania złośliwego kodu. Malware jest uruchamiany w celu zebrania cennych informacji o jego aktywności, w tym utworzonych plikach i folderach, otwieranych portach i wywoływanych adresach URL. Badane w tym przypadku są również takie aspekty jak wykorzystywane funkcje i biblioteki, odwołania do innych aplikacji/narzędzi, modyfikacje ustawień systemowych, uruchamiane procesy i usługi, zmiany w rejestrach, tworzone tunele komunikacyjne, wykorzystywane nowe wektory infekcji kolejnych ofiar i tym podobne [1].

### 3.2.1. Pierwsze uruchomienie złośliwego oprogramowania

Pierwsze uruchomienie złośliwego oprogramowania na pierwszy rzut oka pozornie nie działało, dlatego należy przeanalizować ruch sieciowy, który zgodnie z założeniami określonymi w rozdziale drugim pracy, ma za zadanie symulowanie sieci oraz usług w celu oszukania złośliwego oprogramowania. W tym celu zostanie wykorzystany Wireshark [8]. Wireshark jest to oprogramowanie pozwalające na analizę pakietów ruchu sieciowego, stworzone przez Geralda Combsa.



No.	Time	Source	Destination	Protocol	Length	Info
4	0.015399525	10.0.0.3	10.0.0.5	TCP	60	80 → 49722 [SYN, ACK] Seq=0 Ack=1 Win=64240 Len=0 MSS=1460 SACK_PERM=1 WS=128
5	0.015948770	10.0.0.5	10.0.0.3	TCP	60	49722 → 80 [ACK] Seq=1 Ack=1 Win=262144 Len=0
6	0.016355306	10.0.0.5	10.0.0.3	HTTP	154	GET / HTTP/1.1
7	0.016362879	10.0.0.3	10.0.0.5	TCP	54	80 → 49722 [ACK] Seq=1 Ack=101 Win=64256 Len=0
8	0.026517809	10.0.0.3	10.0.0.5	TCP	204	80 → 49722 [PSH, ACK] Seq=1 Ack=101 Win=64256 Len=150 [TCP segment of a reassembled PDU]
9	0.027606116	10.0.0.5	10.0.0.3	TCP	60	49722 → 80 [ACK] Seq=101 Ack=151 Win=261888 Len=0
10	0.027402271	10.0.0.3	10.0.0.5	HTTP	312	HTTP/1.1 200 OK (text/html)
11	0.027634684	10.0.0.5	10.0.0.3	TCP	60	49722 → 80 [FIN, ACK] Seq=101 Ack=151 Win=261888 Len=0
12	0.027938571	10.0.0.5	10.0.0.3	TCP	60	49722 → 80 [RST, ACK] Seq=102 Ack=409 Win=0 Len=0
13	5.239355237	PcsCompu_91:42:39	PcsCompu_0f:90:db	ARP	42	Who has 10.0.0.5? Tell 10.0.0.3
14	5.249281620	PcsCompu_0f:90:db	PcsCompu_91:42:39	ARP	60	10.0.0.5 is at 08:00:27:0f:90:db
15	7.413987232	10.0.0.5	10.0.0.3	TCP	66	49723 → 443 [SYN] Seq=0 Win=64240 Len=0 MSS=1460 SACK_PERM=1 WS=128
16	7.444012584	10.0.0.3	10.0.0.5	TCP	66	443 → 49723 [SYN, ACK] Seq=0 Ack=1 Win=64240 Len=0 MSS=1460 SACK_PERM=1 WS=128
Frame 6: 154 bytes on wire (1232 bits), 154 bytes captured (1232 bits) on interface enp0s3, id 0 Ethernet II, Src: PcsCompu_0f:90:db (08:00:27:0f:90:db), Dst: PcsCompu_91:42:39 (08:00:27:91:42:39) Internet Protocol Version 4, Src: 10.0.0.5, Dst: 10.0.0.3 Transmission Control Protocol, Src Port: 49722, Dst Port: 80, Seq: 1, Ack: 1, Len: 100 Hypertext Transfer Protocol GET / HTTP/1.1\r\n\r\n         Host: www.iuqerfsodp9ifjaposdfjhgosurijfaewrgwea.com\r\n         Cache-Control: no-cache\r\n\r\n         [Full request URI: http://www.iuqerfsodp9ifjaposdfjhgosurijfaewrgwea.com/] [HTTP request 1/1] [Response in frame: 10]						

Rys. 3.13: Ruch sieciowy pobrany z narzędzia WireShark dla oprogramowania WannaCry (cz. 1)

Analizując ruch sieciowy przedstawiony na **rysunku 3.14** po uruchomieniu złośliwego oprogramowania, możemy zauważyć udaną próbę stabilizacji połączenia do adresu 10.0.0.5 na port 80 z portu 49722. Jest to wystawiona usługa HTTP stworzona przez INetSim. Mówią o tym pakiety 3, 4 i 5. Jest to tak zwany 3-Way Handshake.

Następny interesujący pakiet to połączenie HTTP o numerze pakietu 6. Badając ramkę pakietu można zauważyć połączenie do URL <http://www.iuqerfsodp9ifjaposdfjhgosurijfaewrgwea.com/>, który został znaleziony i opisany w części statycznej analizy.

No.	Time	Source	Destination	Protocol	Length	Info
67	16.972436643	10.0.0.5	224.0.0.252	LLMNR	75	Standard query 0x4534 ANY DESKTOP-FVHEV38
68	16.972859543	10.0.0.5	239.255.255.250	SSDP	179	M-SEARCH * HTTP/1.1
69	17.044846559	10.0.0.5	224.0.0.22	IGMPv3	60	Membership Report / Join group 224.0.0.252 for any sources
70	17.045758729	fe80::2cf1:8d75:b50...	ff02::16	ICMPv6	90	Multicast Listener Report Message v2
71	19.996803696	10.0.0.5	239.255.255.250	SSDP	179	M-SEARCH * HTTP/1.1
72	23.032334505	10.0.0.5	239.255.255.250	SSDP	179	M-SEARCH * HTTP/1.1
73	26.064149609	10.0.0.5	239.255.255.250	SSDP	179	M-SEARCH * HTTP/1.1
74	29.084594441	10.0.0.5	239.255.255.250	SSDP	179	M-SEARCH * HTTP/1.1
75	32.099912342	10.0.0.5	239.255.255.250	SSDP	179	M-SEARCH * HTTP/1.1
76	58.379603392	10.0.0.5	10.0.0.3	TCP	66	49726 → 443 [SYN] Seq=0 Win=64240 Len=0 MSS=1460 WS=256 SACK_PERM=1
77	58.379626317	10.0.0.3	10.0.0.5	TCP	66	443 → 49726 [SYN, ACK] Seq=0 Ack=1 Win=64240 Len=0 MSS=1460 WS=256 SACK_PERM=1

Rys. 3.14: Ruch sieciowy pobrany z narzędzia WireShark dla oprogramowania WannaCry (cz. 2)

Połączenia z pakietów 71-77 na adres 239.255.255.250 po protokole SSDP, który najczęściej służy poszukiwaniu urządzeń w sieci, może wskazywać na próbę zainfekowania innych maszyn lub routerów. W dalszej części wykonywane są połączenia ARP, które mają za zadanie zidentyfikować dostępne adresy IP.

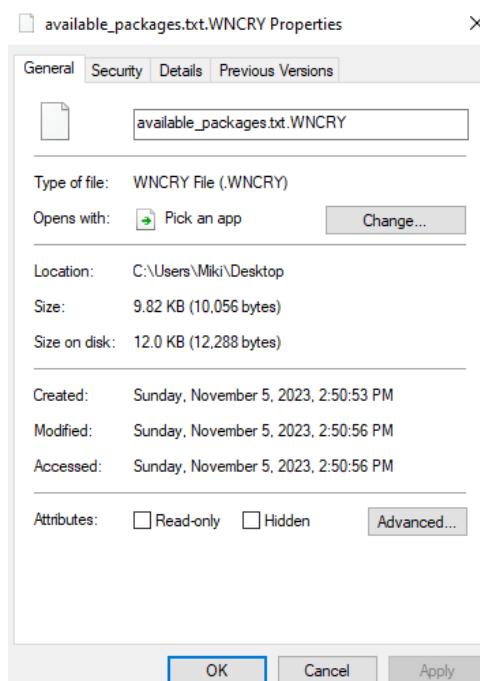
### 3.2.2. Druga próba uruchomienia złośliwego oprogramowania

Ponieważ nie udało się poprawie uruchomić złośliwego oprogramowania poprzez wykorzystanie *INetSim*, należy sprawdzić, co się stanie w momencie wyłączenia usługi. W tym celu wykorzystać należy wcześniej zrobiony zrzut pamięci, aby przywrócić stan przed rozpoczęciem analizy.



Rys. 3.15: Pogląd pulpitu po uruchomieniu złośliwego oprogramowania

Po wyłączeniu dodatkowych usług oferowanych przez INetSim, można zauważyć zadziałanie złośliwego oprogramowania WannaCry. Podgląd usług widoczny na **rysunku 3.15**. Uwagę przykuwa wyświetlające się dodatkowe okienko, w którym opisano działania umożliwiające odszyfrowanie danych oraz podano adres portfela na, który należy wpłacić okup. Zgodnie z opisem w okienku, prywatne pliki zostały zaszyfrowane, przez co są niedostępne dla użytkownika. Podgląd pliku widoczny na **rysunku 3.17**. Rozszerzenia plików zmieniły się na **WNCRY**.



Rys. 3.16: Pogląd plików zaszyfrowanych przez złośliwe oprogramowanie

Pojawił się również plik wykonywalny o nazwie **@WanaDecryptor@.exe** oraz plik graficzny **@WanaDecryptor@.bmp**.



### 3.2.3. Analiza procesów narzędziem ProcMon

Process Monitor [16] to zaawansowane narzędzie do monitorowania systemu Windows, które pokazuje w czasie rzeczywistym aktywność systemu plików, rejestru i procesów/wątków. Łączy w sobie funkcje starszych narzędzi Sysinternals, Filemon i Regmon, i dodaje obszerną listę ulepszeń, w tym bogate i nieniszczące filtrowanie, kompleksowe właściwości zdarzeń, takie jak identyfikatory sesji i nazwy użytkowników, wiarygodne informacje o procesach, pełne stosy wątków ze zintegrowaną obsługą symboli dla każdej operacji, jednoczesne rejestrowanie do pliku i wiele więcej. Wyjątkowo zaawansowane funkcje sprawiają, że ProcMon jest podstawowym narzędziem w zestawie narzędzi do rozwiązywania problemów systemowych i polowania na złośliwe oprogramowanie [17].

W celu lepszego zrozumienia zmiany w rejestrze należy zapoznać się z podstawowymi operacjami na nim. Funkcje te są ważne, aby dokładniej zrozumieć zmiany, które zaszły w ustawieniach systemu oraz bezpieczeństwie.

**Tab. 3.3:** Podstawowe ścieżki dla group policy

Nazwa funkcji	Opis
HKEY_local_Machine	Zawiera ustawienia dla systemu
HKEY_CURRENT_USER	Zawiera ustawienia dla bieżącego użytkownika
HKEY_CLASSES_ROOT	Zawiera informacje o rozszerzeniach plików, identyfikator programowy i dane identyfikatora interfejsu
HKEY_CURRENT_CONFIG	Zawiera aktualne ustawienia hardware'u
HKEY_USERS	Definiuje ustawienia dla użytkowników

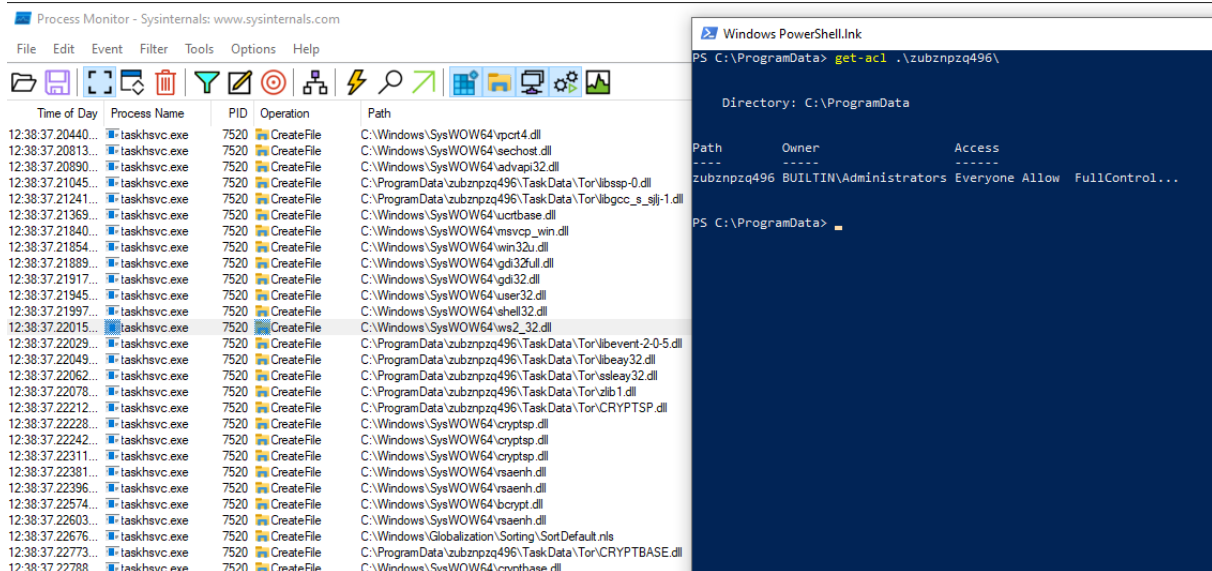
Poprzez funkcję RegOpenKey otworzony został rejestr ustawień internetu znajdującego się pod ścieżką "HKLM/SOFTWARE/Policies/Microsoft/Windows/CurrentVersion/Internet Settings", a za pomocą RegSetValueEx zmieniona została wartość tego rejestru.

**Tab. 3.4:** Podstawowe funkcje rejestru

Nazwa funkcji	Opis
RegOpenKey	Umożliwia edytowanie rejestru
RegSetValue	Dodaje nową wartość do rejestru
RegGetValue	Zwraca dane rejestru
RegCreateKey	Tworzy nowy rejestr

Analizując logi ProcMon'a, można również zauważyć proces taskhsvc.exe, który stworzył nowy folder widoczny tylko dla administratora o nazwie *zubznpzq496*, najprawdopodobniej znajdują się tam odwołania do sieci TOR. Utworzone zostały tam również pliki wykonywalne *taskdl.exe*, *tasksche.exe*, *taskse.exe*, prawdopodobnie mające imitować prawdziwy proces *task.exe* w celu ukrycia się. Wykorzystując kolejne narzędzie PowerShell za pomocą komendy *Get-Filehash* wyciągnięte zostały hash'e plików widoczne w **tabeli 3.5**.

Każdy z nich został przeskanowany narzędziem VirusTotal, który wykazał potencjalnie niebezpieczne oprogramowanie. Pozostałe pliki utworzone to min. *b.wncry*, *c.wncry*, *f.wncry*, *r.wncry*, *s.wncry*, *t.wncry*, *u.wncry*, *00000000.res*, *00000000.pky*, *00000000.eky*.



Rys. 3.17: Nowy Folder złośliwego oprogramowania

Tab. 3.5: Wykaz nagłówków wraz z opisem

Pliki	Opis
taskse.exe	2CA2D550E603D74DEDDA03156023135B38DA3630CB014E3D00B1263358C5F00D
taskdl.exe	4A468603FDCB7A2EB5770705898CF9EF37AADE532A7964642ECD705A74794B79
tasksche.exe	ED01EBFBC9EB5BBEA545AF4D01BF5F1071661840480439C6E5BABE8E080E41AA

Wykorzystując znalezione pliki wykonywalne należy w miarę możliwości poszukać inne podejrzane aktywności. Tasksche.exe tworzy nowy wpis w rejestrze o nazwie *WanaCrypt0r* oraz plik o nazwie *@WannDecryptor@.exe* pod ścieżką *"C:/ProgramData/zubbnpzq496/@WannDecryptor@.exe"*, skrót utworzył się również na pulpicie. Plik *taskdl* wykonuje dużą ilość operacji na plikach tymczasowych, najprawdopodobniej tworząc je lub usuwając.

### 3.2.4. Analiza sieciowa przy pomocy TCPView

Chcąc zobaczyć aktywne połączenia sieciowe oraz procesy, które je wywołują, można użyć narzędzia TCPView [14] stworzonego przez Marka Russinovicha.

svchost.exe	2500	TCP	Syn Sent	10.0.0.3	50258	10.0.0.3	443	11/22/2023 9:41:19 AM	wuauclt
Ransomware.wannacry...	7976	TCP	Syn Sent	10.0.0.3	50260	10.0.0.12	445	11/22/2023 9:41:19 AM	mssecv2.0
Ransomware.wannacry...	7976	TCP	Syn Sent	10.0.0.3	50261	10.0.0.13	445	11/22/2023 9:41:20 AM	mssecv2.0
Ransomware.wannacry...	7976	TCP	Syn Sent	10.0.0.3	50263	10.0.0.14	445	11/22/2023 9:41:20 AM	mssecv2.0
Ransomware.wannacry...	7976	TCP	Syn Sent	10.0.0.3	50264	10.0.0.15	445	11/22/2023 9:41:20 AM	mssecv2.0
Ransomware.wannacry...	7976	TCP	Syn Sent	10.0.0.3	50265	10.0.0.16	445	11/22/2023 9:41:20 AM	mssecv2.0
Ransomware.wannacry...	7976	TCP	Syn Sent	10.0.0.3	50266	10.0.0.17	445	11/22/2023 9:41:20 AM	mssecv2.0
Ransomware.wannacry...	7976	TCP	Syn Sent	10.0.0.3	50267	10.0.0.18	445	11/22/2023 9:41:20 AM	mssecv2.0
Ransomware.wannacry...	7976	TCP	Syn Sent	10.0.0.3	50268	10.0.0.19	445	11/22/2023 9:41:20 AM	mssecv2.0
Ransomware.wannacry...	7976	TCP	Syn Sent	10.0.0.3	50269	10.0.0.20	445	11/22/2023 9:41:20 AM	mssecv2.0
Ransomware.wannacry...	7976	TCP	Syn Sent	10.0.0.3	50270	10.0.0.21	445	11/22/2023 9:41:20 AM	mssecv2.0

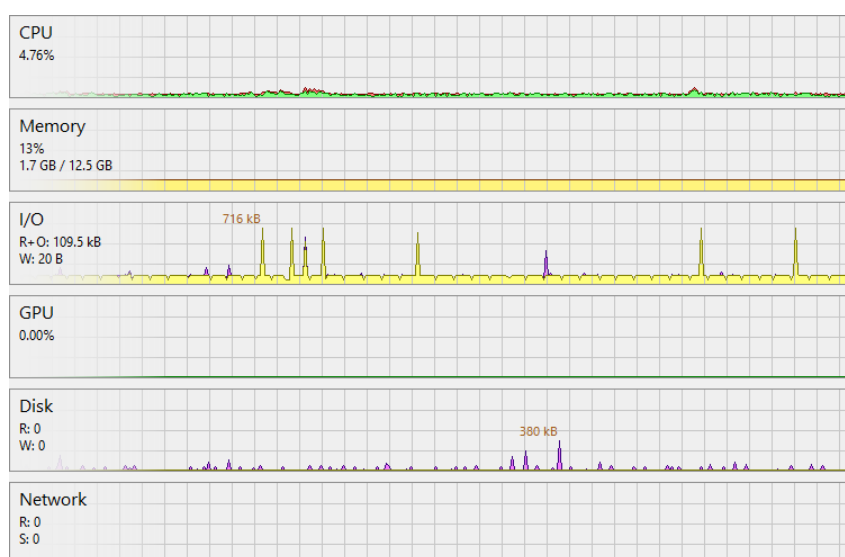
Rys. 3.18: Aktywne połączenia WannaCry widoczne w narzędziu TCPView

Po uruchomieniu pliku WannaCry nastąpiła próba połączenia się do innych urządzeń w sieci po protokole SMB na port 445. Jest to cecha charakterystyczna dla złośliwego oprogramowania typu Robak. Analizując dostępne informacje w internecie można stwierdzić, że WannaCry

korzystał z podatności EternalBlue przeznaczonej na protokół SMB w wersji 1.0, dzięki tej podatności jest w stanie wykonywać zdalnie kod na komputerze ofiary, co może prowadzić do dalszych szkód. Opisany ruch widoczny jest na **rysunku 3.18**. Po próbie ekspansji zostało jedno niestandardowe połączenie na port 9050 wywołane przez proces *taskhsvc.exe*. Korzystając z przycisku "Check payment", który wyświetla się w okienku z okupem, również nastąpiło nowe połączenie wykonane przez proces *wannacry.exe* na 9050. Port ten najczęściej służy do komunikowania się z siecią TOR. Sieć TOR została stworzona w celu zachowania anonimowości, natomiast wykorzystywana jest również w celu popełnienia różnego rodzaju przestępstw.

### 3.2.5. ProcessHacker

Narzędzie ProcessHacker [25] zaawansowane oprogramowanie do monitorowania i zarządzania procesami systemowymi. Aplikacja ta umożliwia szczegółowy wgląd i manipulację w działające procesy oraz usługi systemowe, a także pozwala na monitorowanie wykorzystania takich zasobów jak CPU i pamięć RAM.



Rys. 3.19: Zużycie zasobów przed uruchomieniem złośliwego oprogramowania



Rys. 3.20: Zużycie zasobów po uruchomieniu złośliwego oprogramowania

Porównując wykresy przed uruchomieniem złośliwego oprogramowania **3.19** oraz po jego zadziałaniu **3.20** zauważalne jest znaczne zwiększenie wartości CPU, które w najwyższym punkcie uzyskało aż 60%. Wykres I/O (wejścia/wyjścia) przedstawia dwie wartości:

Read (R): Odnosi się do danych odczytywanych z dysków. Na wykresie reprezentuje to ilość danych przesłanych do pamięci RAM z dysku lub innych nośników pamięci w danym czasie.

Write (W): Odnosi się do danych zapisywanych na dyskach. Na wykresie przedstawia to ilość danych przesłanych z pamięci RAM do trwałego magazynu danych.

Po uruchomieniu pliku WannaCry obie te wartości znacząco wzrosły, co sugeruje sporą aktywność na plikach.

tasksche.exe	5452	0.05	362 B/s	17.64 MB	NT AUTHORITY\SYSTEM	DiskPart
@WanaDecryptor@.exe	1888	0.41		2.25 MB	DESKTOP-FVHEV38\Miki	Load PerfMon Counters
taskhsvc.exe	5712	0.01	256 B/s	6.62 MB	NT AUTHORITY\SYSTEM	
conhost.exe	2932			6.09 MB	NT AUTHORITY\SYSTEM	Console Window Host

Rys. 3.21: Aktywne procesy widoczne w narzędziu ProcessHacker

**Rysunek 3.27** przedstawia wykaz aktywnych procesów wygenerowanych przez złośliwe oprogramowanie, wraz z ich podrzędnymi procesami, które są kreowane przez główny proces.

### 3.3. Automatyzacja analizy

Istotnym aspektem pracy analitycznej jest zdolność do automatyzacji pewnych wykonywanych zadań, co nie tylko oszczędza czas, ale także pomaga wyłapać elementy, które mogły zostać nieumyślnie przeoczone przez analityka.

#### 3.3.1. Jupyter

Jupyter [20] to narzędzie stworzone przez Michaela Taggarta, pomaga ono między innymi w analizie statycznej. Jedną z funkcji *Jupyera* jest automatyczne szukanie ciągów znaków, konwertowanie plików do zipa oraz liczenie sum kontrolnych pokazanych na **rysunku 3.22**. Zebrane dane następnie za pomocą API wysyła do VirusTotal i sporządza raport.

##### File Hashes

##### SHA256 Sum

```
In [10]: for obj in sample_obj:
          hash = MalwareSample.get_sha256sum(obj.sample_path, obj.saved_sample_name)
          obj.sha256sum = hash
          print(info + obj.sample_name + ": " + obj.sha256sum)

[*] Ransomware.wannacry.exe.malz: 24d004a104d4d54034dbcf2a4b19a11f39008a575aa614ea04703480b1022c
```

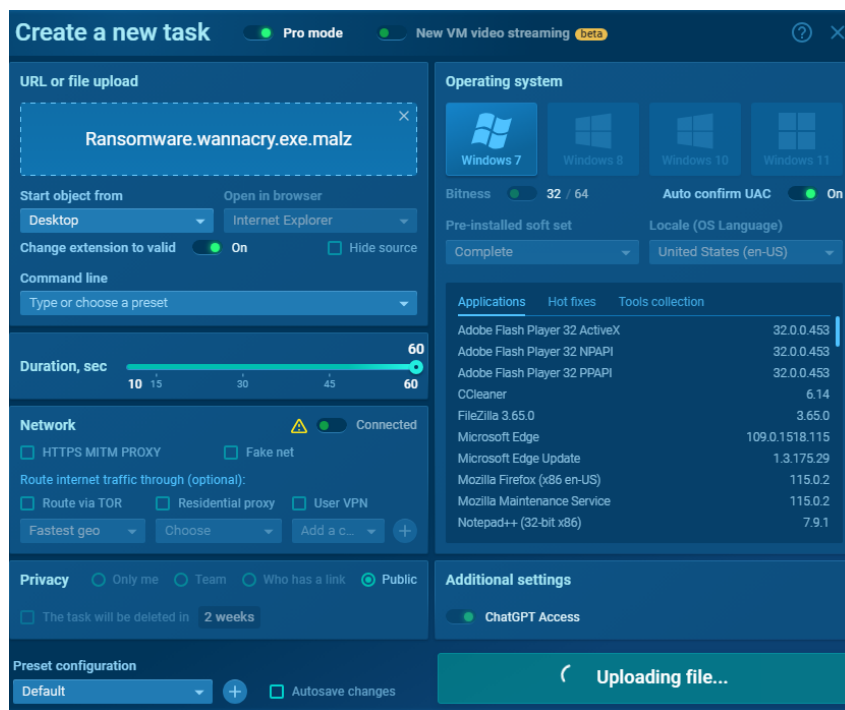
Rys. 3.22: Funkcjonalność Jupyter - suma kontrolna

#### 3.3.2. Analiza plików w piaskownicy

Sandbox jest to tak zwana piaskownica, czyli odizolowane środowisko dające możliwość uruchomienia złośliwego oprogramowania w sposób bezpieczny. Jednym z najlepszych *sandboxów* jest any.run [7]. Ponieważ analizy wykonywane tym narzędziem odbywają się poprzez aplikację webową, badanie niesie to za sobą pewne ryzyka i ograniczenia. Wykorzystane

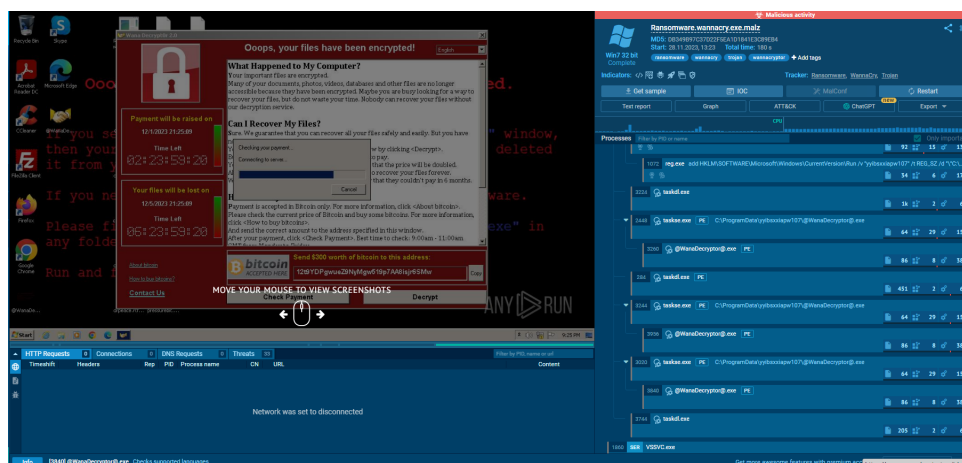
podczas badania skany te są publiczne dostępne dla każdego lub przechowywane są na serwerach dostawcy, podczas analizy może okazać się, że próbka przez nas analizowana posiada skradzione dane (takie jak informację wrażliwe, imiona i nazwiska klientów) lub dane poufne dla firmy (np. faktury). Przez co zgodnie ze standardami takimi jak RODO może zostać to zgłoszone jako wyciek danych. Drugą wadą tego rozwiązania jest prawdopodobieństwo rozpoznania przez złośliwe środowisko piaskownicy, może to skutkować innym, mylącym zachowaniem i przebiegiem programu. Niemniej możliwości platformy any.run są rozległe.

Wersja premium między innymi pozwala na wybór systemu operacyjnego, konfigurację sieci, ustawienie prywatności, a także na zainstalowanie narzędzi. Okno konfiguracji piaskownicy przedstawia **rysunek 3.23**



Rys. 3.23: Funkcjonalności any.run - konfiguracja środowiska

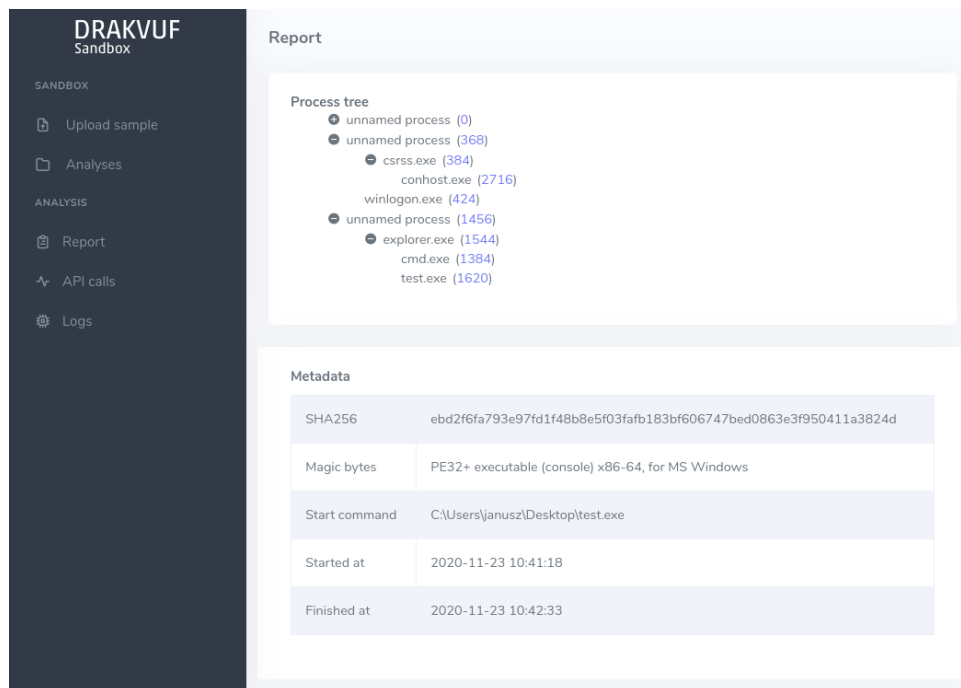
Any.run pozwala śledzić ruch sieciowy w tym ruch DNS, określić związane z nim niebezpieczeństwa, a także proces, który wykonał dane połączenie. Pokazuje również zmienione i utworzone pliki w trakcie ataku, śledzi wykonywane procesy, klasyfikuje ataki na podstawie MITRE ATT&CK oraz korzysta z technologii ChatGPT. Podgląd na **rysunku 3.24**



Rys. 3.24: Funkcjonalności any.run - panel główny

### 3.3.3. DRAKVUF Sandbox

DRAKVUF sandbox [3] jest polskim projektem o dostępnym kodzie źródłowym, który można zainstalować lokalnie na komputerze. Służy, podobnie jak any.run, do przyspieszenia pracy analitykom. Narzędzie to wyróżnia się bezagentową analizą, co utrudnia złośliwemu oprogramowaniu wykrycie jego obecności, monitoruje zachowania na poziomie jądra systemu, a także pozwala na jednoczesną analizę wielu sampli.



Rys. 3.25: Podgląd narzędzia DRAKVUF

### 3.3.4. EnCase Forensic

Narzędzie EnCase Forensic [13] firmy MediaRecovery to również polski produkt pomagający podczas informatyki śledczej. Jego główne funkcje to przeszukiwanie, gromadzenie, analiza danych, przeszukiwanie poczty i Internetu (np. po słowach kluczowych), analizę systemu, w tym rejestrów, przeglądanie zdjęć, rozpoznawanie niektórych systemów szyfrujących i wiele innych. Oprogramowanie jest zaprojektowane w taki sposób, aby zachować integralność danych oraz zgodność z normami sądowymi. To oznacza, że dowody zgromadzone za pomocą EnCase mogą być prezentowane w sądzie, ponieważ procesy i procedury używane do ich zbierania są zgodne z wymogami prawnymi.

## 3.4. Analiza wirtualnego dysku

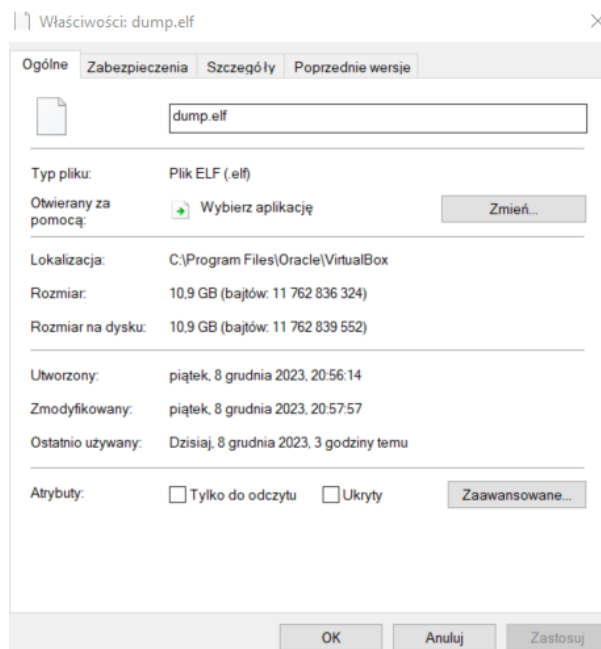
Podczas incydentów bezpieczeństwa najważniejszą rzeczą jest zabezpieczenie logów związanych z atakiem złośliwego oprogramowania. W tym celu kopiuje się zawartość dysku, który jest istotnym elementem podczas ewentualnej rozprawy w sądzie lub może zostać wykorzystany do analizy powłamaniowej.

### 3.4.1. Utworzenie kopii zapasowej

Pierwszym krokiem podczas analizy powłamaniowej jest utworzenie kopii zawartości dysku wirtualnego na którym uruchomione zostało złośliwe oprogramowanie. W tym celu należy wykorzystać komendę[2]:

```
vboxmanage debugvm "nazwa_maszyny" dumpvmcore filename "Nazwa_pliku".elf
```

Utworzony w ten sposób plik widoczny jest na rysunku 3.26.



Rys. 3.26: Podgląd zrzutu pamięci dysku wirtualnego

### 3.4.2. Analiza za pomocą narzędzia Volatility

Volatility [6] to narzędzie open-source wykorzystywane do zaawansowanej analizy pamięci RAM stworzone przez organizację The Volatility Foundation. **Rysunek 3.27** przedstawia widok aktywnych procesów wraz z ich numerami PID, znalezionych przy pomocy oprogramowania Volatility, które zostały znalezione we wcześniejszej części pracy. Widoczny jest również czas w którym poszczególne procesy powstały.

7076	696	svchost.exe	0x88018e13b080	3	-	0	False	2023-12-08 19:11:09
1680	696	Ransomware.wan	0x88018e3770c0	131	-	0	True	2023-12-08 19:11:44
7300	7328	tasksche.exe	0x88018e3bb0c0	7	-	0	True	2023-12-08 19:11:45
1676	7824	taskhsvc.exe	0x88018ebd7080	1	-	0	True	2023-12-08 19:13:32
4612	1676	conhost.exe	0x88018ebd4080	2	-	0	False	2023-12-08 19:13:32
7328	7468	@WanaDecryptor	0x88018e69e340	1	-	1	True	2023-12-08 19:14:00
468	1212	taskhostw.exe	0x88018c7d2080	3	-	1	False	2023-12-08 19:35:38
7100	696	svchost.exe	0x88018c899080	1	-	0	False	2023-12-08 19:35:39

Rys. 3.27: Procesy wylistowane przy pomocy narzędzia Volatility

Korzystając z flagi *dlllist* wraz ze znalezionymi numerami PID, wylistowane zostały biblioteki z których korzysta dany proces. Analizując wynik komendy przedstawiony na **rysunku 3.28** można zauważyć aktywny proces *svchost.exe* wykorzystujący bibliotekę *bcryptPrimitives.dll*, która wykorzystuje funkcjonalności związane z szyfrowaniem i deszyfrowaniem. Najprawdopodobniej któryś z programów stworzonych przez WannaCry wykorzystuje ten proces do szyfrowania plików.



7328	@WanaDecryptor	0x7ffaf95f0000	0x59000	wow64.dll	C:\Windows\System32\wow64.dll	2023-12-08 19:14:0
7328	@WanaDecryptor	0x7ffaf8ea0000	0x83000	wow64win.dll	C:\Windows\System32\wow64win.dll	2023-12-08
7328	@WanaDecryptor	0x77220000	0xa000	wow64cpu.dll	C:\Windows\System32\wow64cpu.dll	2023-12-08
468	taskhostw.exe	0x7ffaec710000	0x2b1000	iertutil.dll	C:\Windows\System32\iertutil.dll	20
7100	svchost.exe	0x7ff605580000	0x10000	svchost.exe	C:\Windows\system32\svchost.exe	2023-12-08 19:35:3
7100	svchost.exe	0x7ffafa6f0000	0x1f8000	-	-	2023-12-08 19:35:39.000000 Disabled
7100	svchost.exe	0x7ffaf9000000	0xbd000	KERNEL32.DLL	C:\Windows\SYSTEM32\KERNEL32.DLL	2023-12-08
7100	svchost.exe	0x7ffaf80f0000	0x2ce000	KERNELBASE.dll	C:\Windows\SYSTEM32\KERNELBASE.dll	20
7100	svchost.exe	0x7ffaf9ee0000	0x9c000	sechost.dll	C:\Windows\SYSTEM32\sechost.dll	2023-12-08 19:35:3
7100	svchost.exe	0x7ffaf91e0000	0x125000	RPCRT4.dll	C:\Windows\SYSTEM32\RPCRT4.dll	2023-12-08
7100	svchost.exe	0x7ffaf7eb0000	0x100000	ucrtbase.dll	C:\Windows\SYSTEM32\ucrtbase.dll	20
7100	svchost.exe	0x7ffaf9b80000	0x354000	combase.dll	C:\Windows\SYSTEM32\combase.dll	2023-12-08
7100	svchost.exe	0x7ffaf5d00000	0x12000	kernel.appcore.dll	C:\Windows\SYSTEM32\kernel.appcore.dll	20
7100	svchost.exe	0x7ffafa190000	0x9e000	msvcrt.dll	C:\Windows\system32\msvcrt.dll	2023-12-08 19:35:3
7100	svchost.exe	0x7ffaf8430000	0x82000	bcryptPrimitives.dll	C:\Windows\SYSTEM32\bcryptPrimitives.dll	

Rys. 3.28: Biblioteki wylistowane przy pomocy narzędzia Volatility

Przy użyciu komendy `python3 vol.py -f/home/remnux/Downloads/dump.elf windows.handles | grep "7328"`, gdzie numer "7328" to PID procesu @WanaDecryptor, znalezione zostało odwołanie do pliku: `/Device/HarddiskVolume2/Windows/Fonts/StaticCache.dat`. Plik *StaticCache.dat* najprawdopodobniej zawiera czcionki, które zostały wykorzystane w oknie dialogowym pokazanym na rysunku 3.15. Opisana aktywność sugeruje, że odpowiedzialny za wyświetlanie okna dialogowego z okupem jest plik @WanaDecryptor.

Uprawnienia pliku @WanaDecryptor, które zostały pokazane na rysunku 3.29 pozwalają między innymi tworzenie, usuwanie i manipulowanie plikami, nadawanie uprawnień, zmianę wyświetlanego czasu, otrzymywanie powiadomień o zmianach w plikach lub ścieżkach.

7328	@WanaDecryptor	2	SeCreateTokenPrivilege	Create a token object
7328	@WanaDecryptor	3	SeAssignPrimaryTokenPrivilege	Replace a process-level token
7328	@WanaDecryptor	4	SeLockMemoryPrivilege	Lock pages in memory
7328	@WanaDecryptor	5	SeIncreaseQuotaPrivilege	Increase quotas
7328	@WanaDecryptor	6	SeMachineAccountPrivilege	Add workstations to the domain
7328	@WanaDecryptor	7	SeTcbPrivilege	Act as part of the operating system
7328	@WanaDecryptor	8	SeSecurityPrivilege	Manage auditing and security log
7328	@WanaDecryptor	9	SeTakeOwnershipPrivilege	Take ownership of files/objects
7328	@WanaDecryptor	10	SeLoadDriverPrivilege	Load and unload device drivers
7328	@WanaDecryptor	11	SeSystemProfilePrivilege	Profile system performance
7328	@WanaDecryptor	12	SeSystemtimePrivilege	Change the system time
7328	@WanaDecryptor	13	SeProfileSingleProcessPrivilege	Profile a single process
7328	@WanaDecryptor	14	SeIncreaseBasePriorityPrivilege	Increase scheduling priority
7328	@WanaDecryptor	15	SeCreatePagefilePrivilege	Create a pagefile
7328	@WanaDecryptor	16	SeCreatePermanentPrivilege	Create permanent shared objects
7328	@WanaDecryptor	17	SeBackupPrivilege	Backup files and directories
7328	@WanaDecryptor	18	SeRestorePrivilege	Restore files and directories
7328	@WanaDecryptor	19	SeShutdownPrivilege	Shut down the system
7328	@WanaDecryptor	20	SeDebugPrivilege	Debug programs
7328	@WanaDecryptor	21	SeAuditPrivilege	Generate security audits
7328	@WanaDecryptor	22	SeSystemEnvironmentPrivilege	Edit firmware environment values
7328	@WanaDecryptor	23	SeChangeNotifyPrivilege	Present,Enabled,Default Receive notifications of changes to files or directories
7328	@WanaDecryptor	24	SeRemoteShutdownPrivilege	Force shutdown from a remote system
7328	@WanaDecryptor	25	SeUndockPrivilege	Present Remove computer from docking station
7328	@WanaDecryptor	26	SeSyncAgentPrivilege	Synch directory service data
7328	@WanaDecryptor	27	SeEnableDelegationPrivilege	Enable user accounts to be trusted for delegation
7328	@WanaDecryptor	28	SeManageVolumePrivilege	Manage the files on a volume
7328	@WanaDecryptor	29	SeImpersonatePrivilege	Impersonate a client after authentication
7328	@WanaDecryptor	30	SeCreateGlobalPrivilege	Default Create global objects
7328	@WanaDecryptor	31	SeTrustedCredManAccessPrivilege	Access Credential Manager as a trusted caller
7328	@WanaDecryptor	32	SeRelabelPrivilege	Modify the mandatory integrity level of an object
7328	@WanaDecryptor	33	SeIncreaseWorkingSetPrivilege	Present Allocate more memory for user applications
7328	@WanaDecryptor	34	SeTimeZonePrivilege	Present Adjust the time zone of the computer's internal clock
7328	@WanaDecryptor	35	SeCreateSymbolicLinkPrivilege	Required to create a symbolic link

Rys. 3.29: Uprawnienia programu @WannDecryptor



# Rozdział 4

## Analiza kodu

W tym rozdziale za pomocą dekompilacji oraz deasemblacji częściowo omówiony zostanie kod złośliwego oprogramowania za pomocą narzędzia cutter [23] oraz znalezienie innych indyktorów i wskazówek poprzez zmianę kodu w narzędziu 32dbg.

### 4.1. Dekompilacja głównej części programu

Dekompilacja programu polega na zmianie widoku kodu z nisko-poziomowego na wysoko-poziomowy. Przykładem takiej zamiany może być przejście z języka assembler na język C++. Przykład dla oprogramowania WannaCry został umieszczony w **listingach 4.1** oraz **4.2**.

**Listing 4.1:** Kod złośliwego oprogramowania w dekompiatorze

```
/* jsdec pseudo code output */
/* C:\Users\Miki\Desktop\Ransomware.wannacry.exe.malz @ 0x40815c */
#include <stdint.h>

int32_t main (void) {
    int32_t var_64h;
    int32_t var_50h;
    int32_t var_17h;
    int32_t var_13h;
    int32_t var_fh;
    int32_t var_bh;
    int32_t var_7h;
    int32_t var_3h;
    int32_t var_1h;
    ecx = 0xe;
    esi = "http://www.iuqerfsodp9ifjaposdfjhgosurijfaewrwergwea.com";
    edi = &var_50h;
    eax = 0;
    do {
        *(es:edi) = *(esi);
        ecx--;
        esi += 4;
        es:edi += 4;
    } while (ecx != 0);
    *(es:edi) = *(esi);
    esi++;
    es:edi++;
    eax = InternetOpenA (eax, 1, eax, eax, eax, eax, eax, eax, ax, al);
    ecx = &var_64h;
    esi = eax;
    eax = InternetOpenUrlA (esi, ecx, 0, 0, 0x84000000, 0);
```

```

edi = eax;
esi = imp.InternetCloseHandle;
if (edi == 0) {
    void (*esi)() ();
    void (*esi)(uint32_t) (0);
    eax = fcn_00408090 ();
    eax = 0;
    return eax;
}
void (*esi)() ();
eax = void (*esi)(uint32_t) (edi);
eax = 0;
return eax;
}

```

**Listing 4.2:** Funkcja fcn\_00408090 oprogramowania w dekompiatorze

```

/* jsdec pseudo code output */
/* C:\Users\Miki\Desktop\Ransomware.wannacry.exe.malz @ 0x408090 */
#include <stdint.h>

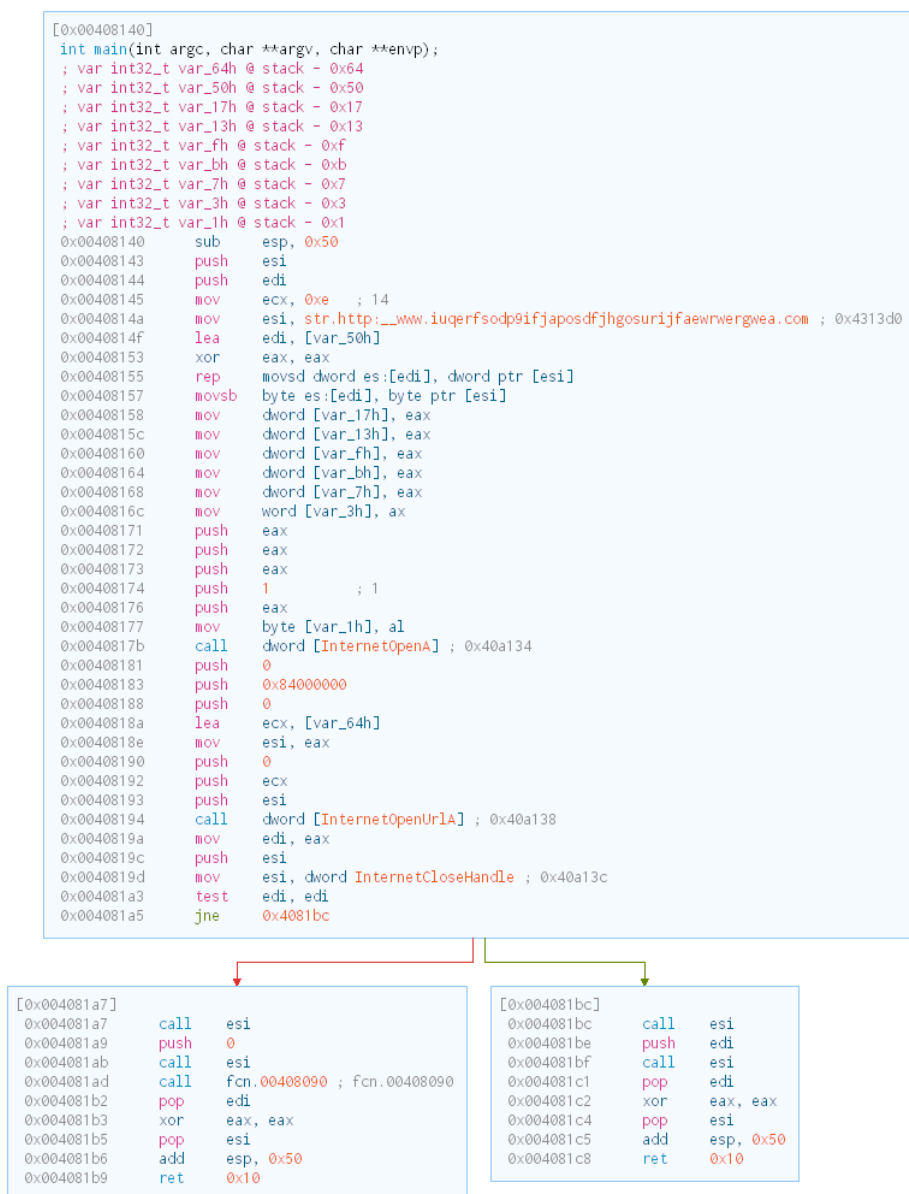
uint32_t fcn_00408090 (void) {
    const char * var_3ch;
    const char * var_38h;
    int32_t var_34h;
    int32_t var_30h;
    int32_t var_2ch;
    const char * lpServiceStartTable;
    int32_t var_24h;
    int32_t var_20h;
    int32_t var_1ch;
    GetModuleFileNameA (0, data.0070f760, 0x104);
    eax = p_argc ();
    if (*(eax) < 2) {
        fcn_00407f20 ();
        return eax;
    }
    eax = OpenSCManagerA (0, 0, 0xf003f, edi);
    edi = eax;
    if (edi != 0) {
        eax = OpenServiceA (edi, "mssecsvc2.0", 0xf01ff, esi, ebx);
        ebx = imp.CloseServiceHandle;
        esi = eax;
        if (esi != 0) {
            fcn_00407fa0 (esi, 0x3c);
            void (*ebx)(uint32_t) (esi);
        }
        void (*ebx)(uint32_t) (edi);
    }
    eax = &lpServiceStartTable;
    StartServiceCtrlDispatcherA (eax, "mssecsvc2.0", data.00408000, 0, 0);
    return eax;
}

```

#### 4.1.1. Statyczna analiza głównej części programu

Zakładka *Graph* narzędzia *cutter* pozwala zobaczyć różne drogi, którymi może poruszać się złośliwe oprogramowanie. Wybrana droga zależy od zwróconej wartości zapisanej w pamięci, czyli przebiegu działania programu. W celu ułatwienia analizy kodu, wykorzystana

zostanie zakładka *Graph* widoczna na **rysunku 4.1** wraz z dekompilem kodem umieszczonym w **listingu 4.1**. Pierwszą rzeczą, na którą warto zwrócić uwagę, jest przekazanie do pamięci za pomocą instrukcji *mov esi* znalezionej podczas analizy statycznej URL. Kolejnym krokiem jest załadowanie pozostałych argumentów do stosu pamięci, aby następnie za pomocą instrukcji *call dword [internetOpenUrlA]* wykonać połączenie internetowe. Zgodnie z dokumentacją Microsoft, API *call internetOpenURLA* jest *boolem*, czyli zwraca wartość "1" lub "0". Wartość ta zapisywana jest najpierw do *eax*, a potem do *edi*. Pozostała część kodu sprawdza za pomocą instrukcji *if* wartość ma *edi* i na podstawie wyniku wykonuje się lewa droga kodu lub prawa na grafie. Prawa część grafu wykonuje się w momencie, kiedy połączenie jest udane, czyszczone są wartości na stosie i program się zamyka. Lewa część grafu również czyści wartości na stosie, ale wykonuje się dalsza część programu poprzez odwołanie do funkcji w miejscu *call fcn.00508090*. Po odwołaniu do wspomnianej funkcji program wykorzystuje *GetModuleFileNameA*, aby pobrać zawartość ścieżki pliku, sprawdza liczbę argumentów i w zależności od wyniku, idzie do kolejnych funkcji *fcn\_004070f20* lub za pomocą Windows API *OpenSCManager* otwiera menadżera usług, aby stworzyć proces *mssecsvc2.0*.



Rys. 4.1: Zakładka graf narzędzia cutter

## 4.2. Analiza dynamiczna kodu

Analiza dynamiczna kodu polega na sprawdzeniu zachowania programu w trakcie jego wykonywania. Dzięki niej można odkryć inne funkcjonalności oraz doprowadzić do nich.

### 4.2.1. Opis działania narzędzia

Najważniejszą cechą narzędzia x32dbg jest okno "FPU" widoczny na **rysunku 4.2**, dzięki niemu jest w stanie kontrolować pamięć rejestru, oraz dzięki "EIP", podglądać kolejne wykonywane funkcje programu.

```

EAX 00000000
EBX 00000000
ECX 54B80000
EDX 00000000
EBP 0019FA44 "-ü\x19"
ESP 0019FA18 "<æjvxj#wüi#w"
ESI 772369FC "minkernel\\ntdll\\ldrinit.c"
EDI 77236A78 "LdrpInitializeProcess"

EIP 772E1EF3 ntdll.772E1EF3

EFLAGS 00000246
ZF 1 PF 1 AE 0
OF 0 SF 0 DF 0
CF 0 TF 0 IF 1

LastError 00000000 (ERROR_SUCCESS)
LastStatus C0000034 (STATUS_OBJECT_NAME_NOT_FOUND)

GS 002B FS 0053
ES 002B DS 002B
CS 0023 SS 002B

ST(0) 00000000000000000000 x87r0 Empty 0.00000000000000000000
ST(1) 00000000000000000000 x87r1 Empty 0.00000000000000000000
ST(2) 00000000000000000000 x87r2 Empty 0.00000000000000000000
ST(3) 00000000000000000000 x87r3 Empty 0.00000000000000000000
ST(4) 00000000000000000000 x87r4 Empty 0.00000000000000000000
ST(5) 00000000000000000000 x87r5 Empty 0.00000000000000000000
ST(6) 00000000000000000000 x87r6 Empty 0.00000000000000000000
ST(7) 00000000000000000000 x87r7 Empty 0.00000000000000000000

```

**Rys. 4.2:** Okno "FPU" w programie x32dbg.Ink

Stos jest to wydzielona część pamięci, która korzysta z algorytmu LIFO (Last-In-First-Out). Podgląd w programie x32dbg pokazany został na **rysunku 4.3**. Kontrola stosu potrzebna jest do zarządzania pamięcią. Okno w programie znajduje się w dolnej części. Pozostałe okna nie różnią się od tych widocznych w programie cutter.

```

0019F968 00000000
0019F96C 00000000
0019F970 00000000
0019F974 00000000
0019F978 00000000
0019F97C 00000000
0019F980 00000000
0019F984 00000000
0019F988 77353430 ntdll.77353430
0019F98C 00AF3590 "&p9"
0019F990 00000001
0019F994 00000000
0019F998 00000000
0019F99C 00000000
0019F9A0 00000000
0019F9A4 0019F9D4
0019F9A8 77280D57 return to ntdll.77280D57 from ntdll.7726E820
0019F9AC 77353340 ntdll.77353340

```

**Rys. 4.3:** Okno stosu w programie x32dbg

### 4.2.2. Uruchomienie programu korzystając z *INetSim*

Pierwsza próba uruchomienia złośliwego oprogramowania opisana we wcześniejszym rozdziale nie powiodła się. Podczas analizy statycznej okazało się, że kiedy następuje udane połączenie do URL to program nie uruchamia się. W analizie dynamicznej pokazane zostanie, w jaki sposób osiągnąć pozytywny wynik mimo udanego połączenia. Początek programu najłatwiej znaleźć korzystając z funkcji *search* po znalezionym wcześniej URL. Przechodząc do wykonania instrukcji *test*, która zgodnie z analizą statyczną zawiera wynik wcześniejszej próby połączenia, można zauważyć wartość *EDI 00CC000C* w okienku *FPU*, co oznacza prawidłowe wykonanie połączenia. Instrukcja została zawarta na **rysunku 4.4**.

```

EAX 00CC000C
EBX 00000000
ECX 16C1A1DD
EDX 00000000
EBP 0019FF70
ESP 0019FE7C
ESI 72250EF0 <wininet.InternetCloseHandle>
EDI 00CC000C

EIP 004081A3 ransomware.wannacry.004081A3

EFLAGS 00010246
ZF 1 PF 1 AF 0
OF 0 SF 0 DF 0
CF 0 TF 0 IF 1

LastError 00000000 (ERROR_SUCCESS)
LastStatus C000007C (STATUS_NO_TOKEN)

GS 002B FS 0053
ES 002B DS 002B
CS 0023 SS 002B

ST(0) 0000000000000000 x87r0 Empty 0.0000000000000000
ST(1) 0000000000000000 x87r1 Empty 0.0000000000000000
ST(2) 0000000000000000 x87r2 Empty 0.0000000000000000
ST(3) 0000000000000000 x87r3 Empty 0.0000000000000000
ST(4) 0000000000000000 x87r4 Empty 0.0000000000000000
ST(5) 0000000000000000 x87r5 Empty 0.0000000000000000
ST(6) 0000000000000000 x87r6 Empty 0.0000000000000000
ST(7) 0000000000000000 x87r7 Empty 0.0000000000000000

```

Rys. 4.4: Wartości pamięci po utworzeniu połączenia

Po przejściu do instrukcji *jne* można zauważyć zmianę wartości flagi *ZF* w oknie *FPU* z jedynki na zero, podgląd dostępny na **rysunku 4.5**. Zmieniając z powrotem wartość flagi na jedynkę, program nie przejdzie do prawej części drogi widocznej w **4.1**, tylko do lewej. W ten sposób, mimo włączonego narzędzia *INetSim* i udanego połączenia, działanie to wymusiło to aktywowanie złośliwego oprogramowania.

```

EAX 00CC000C
EBX 00000000
ECX 16C1A1DD
EDX 00000000
EBP 0019FF70
ESP 0019FE7C
ESI 72250EF0 <wininet.InternetCloseHandle>
EDI 00CC000C

EIP 004081A5 ransomware.wannacry.004081A5

EFLAGS 00010206
ZF 0 PF 1 AF 0
OF 0 SF 0 DF 0
CF 0 TF 0 IF 1

LastError 00000000 (ERROR_SUCCESS)
LastStatus C000007C (STATUS_NO_TOKEN)

GS 002B FS 0053
ES 002B DS 002B
CS 0023 SS 002B

ST(0) 0000000000000000 x87r0 Empty 0.0000000000000000
ST(1) 0000000000000000 x87r1 Empty 0.0000000000000000
ST(2) 0000000000000000 x87r2 Empty 0.0000000000000000
ST(3) 0000000000000000 x87r3 Empty 0.0000000000000000
ST(4) 0000000000000000 x87r4 Empty 0.0000000000000000
ST(5) 0000000000000000 x87r5 Empty 0.0000000000000000
ST(6) 0000000000000000 x87r6 Empty 0.0000000000000000
ST(7) 0000000000000000 x87r7 Empty 0.0000000000000000

```

Rys. 4.5: Wartości pamięci po zmianie flagi

# Rozdział 5

## Metody obrony

Najważniejszym elementem po skończonej analizie jest odpowiednie sklasyfikowanie znalezionych dowodów, a także stworzenie odpowiednich mechanizmów obrony mających na celu rozpoznawanie i blokowanie złośliwego oprogramowania.

### 5.1. Techniki znalezione podczas analizy

W ramach pracy nad lepszym skategoryzowaniem i zrozumieniem znalezionych zachowań złośliwego oprogramowania, zostanie wykorzystana baza wiedzy MITRE, ATT&CK stworzona przez amerykańskie stowarzyszenie [27]. Poszczególne taktyki znalezione podczas analizy zostaną przypisane do odpowiedniej kategorii i opisane.

**Tab. 5.1:** Sklasyfikowane i opisane znalezione metody ataku

ID	Kategoria	Opis
T1486	Data Encrypted for Impact	Szyfrowanie danych
T1573	Encrypted Channel: Asymmetric Cryptography	Utworzenie kanału komunikacyjnego za pomocą narzędzia TOR.
11210	Exploitation of Remote Services	Rozprzestrzenienie się złośliwego oprogramowania za pomocą protokołu SMB.
T1222	Hide Artifacts: Hidden Files and Directories	Wykorzystuje komendę <code>Attrib +h</code> do ukrycia plików.
T1016	System Network Configuration Discovery	Skan sieci w celu zainfekowania pozostałych urządzeń.

### 5.2. Sygnatury dla narzędzi *EDR*

Narzędzia *EDR* (Endpoint Detection and Response) to zaawansowane rozwiązania bezpieczeństwa zaprojektowane do monitorowania, wykrywania i reagowania na podejrzane działania i zagrożenia na urządzeniach końcowych, takich jak komputery, laptopy i serwery. Najbardziej znane rozwiązania *EDR* to: CrowdStrike Falcon, SentinelOne, FireEye i Symantec. Narzędzia te wykorzystują między innymi sygnatury do badania plików. Są to specjalnie napisane pliki tekstowe zawierające zachowania złośliwego oprogramowania, a także cechy charakterystyczne. Na ich podstawie *EDR* lub antywirus podejmuje decyzje, czy taki plik jest niebezpieczny. Jedynymi z często wykorzystywanych rozwiązań są rule YARA [21].

**Listing 5.1:** Sygnatura Yara dla WannaCry

```

rule WannaCry_Yara {
  meta:
    author = "Mikolaj Grzempa"
    description = "Yara Rule for WannaCry"
  strings:

    $taskdl = "taskdl.exe" fullword ascii
    $tasksche = "tasksche.exe" fullword ascii
    $hash1 = "2
      ↳ CA2D550E603D74DEDDA03156023135B38DA3630CB014E3D00B1263358C5F00D
      ↳ " ascii
    $hash2 = "4
      ↳ A468603FDCB7A2EB5770705898CF9EF37AADE532A7964642ECD705A74794B79
      ↳ " ascii
    $hash3 = "
      ↳ ED01EBFBC9EB5BBEA545AF4D01BF5F1071661840480439C6E5BABE8E080E41AA
      ↳ " ascii
    $URL = "www.iuqerfsodp9ifjaposdfjhgosurijfaewrwergwea.com" ascii
  condition:
    any of them
}

rule WannaCry_Yara_2 {
  meta:
    author = "Mikolaj Grzempa"
    description = "Yara Rule for WannaCry"
  strings:
    $PlikPE = {4D 5A}
    $FileName = "WannaCryptor"
    $FileName2 = "WANNACRY"
  condition:
    $PlikPE at 0 and ($FileName or $FileName2)
}

```

Opisany kod w **listingu 5.1** ma za zadanie powstrzymać oprogramowanie WannaCry przez zainfekowaniem komputera użytkownika oraz innych urządzeń w sieci.

Funkcja *WannaCry\_Yara* zawiera listę nazw procesów, sum kontrolnych oraz adresów URL, z którymi złośliwe oprogramowanie próbowało się połączyć. W przypadku wykrycia przez *EDR* jakiegokolwiek z tych indykatorów, system natychmiast zatrzyma działanie podejrzanego pliku poprzez jego usunięcie lub przeniesienie do piaskownicy.

W funkcji *WannaCry\_Yara\_2* zdefiniowano warunek aktywacji ochrony. System reaguje, jeśli pierwsze bajty pliku rozpoczynają się od sekwencji *4D 5A*, co wskazuje na plik wykonywalny, a drugi warunek to nazwa utworzonego pliku *WannaCryptor* lub *WANNACRY*. Jeżeli obydwa warunki zostaną spełnione EDR zadziała.

# Rozdział 6

## Podsumowanie

Celem pracy było przedstawienie narzędzi informatyki śledczej do analizy złośliwego oprogramowania w odizolowanym środowisku z wykorzystaniem wirtualizacji. Cel został w pełni zrealizowany dla próbki WannaCry.

Za pomocą wbudowanych narzędzi programu VirtualBox skonfigurowana została wirtualna karta sieciowa, dzięki której oddzielony od sieci domowej został system Windows oraz Linux. Konfiguracja ta pozwoliła na stworzenie izolowanego środowiska, w którym w bezpieczny sposób przeprowadzone zostało badanie. W pracy, w rozdziale 2 zostały również opisane poszczególne kroki, mające na celu umożliwić uruchomienie złośliwego oprogramowania bez ograniczeń narzuconych przez antywirusa i FireWall'a.

Jako pierwsza została wykonana analiza statyczna, dzięki której odnaleziono zostały podejrzane indykatory, takie jak połączenia API mogące umożliwić szyfrowanie danych, ukrywanie plików, oraz odwołanie do strony internetowej. Za pomocą narzędzi informatyki śledczej obliczona została suma kontrolna analizowanego programu, którą następnie przy użyciu dostępnych publicznych skanerów i baz danych sklasyfikowano jako znane złośliwe oprogramowanie.

Przeprowadzona analiza dynamiczna pozwoliła dokładniej zrozumieć badaną próbkę. Pojawiły się zachowania sugerujące, że opisywana próba wykorzystuje protokół SMBv1 do komunikacji z innymi urządzeniami w sieci w celu zainfekowania pozostałych urządzeń, a także na podstawie odnalezionych procesów udało się odnaleźć wskaźniki kompromitacji. W pracy zrealizowana została również podstawowa analiza wirtualnego dysku na którym znajdowało się badane złośliwe oprogramowanie. Wykorzystując narzędzia wymienione w podrozdziale numer 3.3 można w znacznej części przyspieszyć analizę złośliwego oprogramowania, co pozwoli podczas realnego incydentu na szybszą i dokładniejszą reakcję.

Statyczna analiza kodu wyjaśniła, dlaczego pierwsza próba odpalenia złośliwego oprogramowania pozornie nie zadziałała, natomiast przy pomocy analizy dynamicznej kodu, udało się w pełni uruchomić badany program. Na podstawie znalezionych zebranych danych udało się sklasyfikować taktyki wykorzystane podczas ataku, co jest kluczowym elementem w budowaniu czytelnego i zrozumiałego raportu powłamaninowego. Dzięki wyżej wymienionym czynnościom stworzone zostały reguły YARA, wykorzystywane przez narzędzia typu EDR, które są w stanie skutecznie zablokować podobne ataki.



# Literatura

- [1] D.W. Obsługa incydentów bezpieczeństwa związanych z malware. <https://www.altkomakademia.pl/baza-wiedzy/blog/bezpieczenstwo-malware/>. ost. dost. 10 marca 2022.
- [2] A.F. How to extract a ram dump from a running virtualbox machine. <https://andreafortuna.org/2017/06/23/how-to-extract-a-ram-dump-from-a-running-virtualbox-machine/>. ost. dost. 4 grudnia 2023.
- [3] A. H. K. A.W, M.L. automated black-box malware analysis system. <https://github.com/CERT-Polska/drakvuf-sandbox>. ost. dost. 1 grudnia 2023.
- [4] Bezpieczny blog. Co to jest hash? <https://bezpieczny.blog/co-to-jest-hash/>. ost. dost. 21 października 2019.
- [5] Chronicle Security. Virustotal. <https://www.virustotal.com>. ost. dost. 20 października 2023.
- [6] T. V. Foundation. Advanced memory analysis tool. <https://www.volatilityfoundation.org>. ost. dost. 6 grudnia 2023.
- [7] A. FZCO. Piaskownika do analizy plików. <https://any.run/>. ost. dost. 1 grudnia 2023.
- [8] G.C. analizator pakietów. <https://www.wireshark.org/>. ost. dost. 3 grudnia 2023.
- [9] K.B. The 12 most common types of malware. <https://www.crowdstrike.com/cybersecurity-101/malware/types-of-malware/>. ost. dost. 28 stycznia 2023.
- [10] Laboratorium Cyberbezpieczeństwa DKWOC. Proces analizy malware. <https://www.wojsko-polskie.pl/woc/articles/publikacje-r/proces-analizy-malware/>. ost. dost. 1 grudnia 2023.
- [11] Malwarebytes. What was wannacry? | wannacry ransomware | malwarebytes. <https://www.malwarebytes.com/wannacry>. ost. dost. 25 października 2023.
- [12] Mandiant. Flarevm. <https://www.mandiant.com/resources/blog/flare-vm-the-windows-malware>. ost. dost. 6 grudnia 2022.
- [13] MediaRecovery. Encase forensic. <https://mediarecovery.pl/product/encase-forensic/>. ost. dost. 1 grudnia 2023.
- [14] Microsoft. Tcpview. <https://learn.microsoft.com/pl-pl/sysinternals/downloads/tcpview>. ost. dost. 7 października 2023.
- [15] Microsoft Corporation. Obraz środowiska windows. <https://www.microsoft.com/en-us/evalcenter/download-windows-10-enterprise>. ost. dost. 21 listopada 2023.
- [16] M.R. Monitor procesów. <https://learn.microsoft.com/pl-pl/sysinternals/downloads/procmon>. ost. dost. 1 grudnia 2023.

- 
- [17] M.R. Process monitor. <https://learn.microsoft.com/en-us/sysinternals/downloads/procmon>. ost. dost. 3 września 2023.
- [18] mrd0x. Malicious api. <https://malapi.io>. ost. dost. 1 grudnia 2023.
- [19] M.S, A.H. Practical malware analysis. Wydawnictwo Random House Lcc Us, 2012.
- [20] M.T. Automatyzacja analizy złośliwego oprogramowania. <https://github.com/HuskyHacks/blue-jupyter>. ost. dost. 1 grudnia 2023.
- [21] N.F. Yara rules guide: Learning this malware research tool. <https://www.varonis.com/blog/yara-rules>. ost. dost. 1 czerwca 2023.
- [22] R.D. Protokół synchronizacji danych watermelondb. <https://pushsec.pl/gpo-windows/>. ost. dost. 8 stycznia 2021.
- [23] Rizin. Cutter is a qt and c++ gui powered by rizin. <https://cutter.re/>. ost. dost. 1 grudnia 2023.
- [24] S.C. Global ransomware damage costs predicted to exceed 265 billion by 2031. <https://cybersecurityventures.com/global-ransomware-damage-costs-predicted-to-reach-250-billion-usd-by-2031/>. ost. dost. 7 lipca 2023.
- [25] Sourceforge. monitor system resources, debug software and detect malware. <https://processhacker.sourceforge.io>. ost. dost. 4 grudnia 2023.
- [26] T.H, M.E. Symulacja podstawowych serwisów internetowych. <https://www.inetsim.org/>. ost. dost. 21 listopada 2020.
- [27] The MITRE Corporation. Mitre attck. <https://attack.mitre.org>. ost. dost. 2 grudnia 2023.
- [28] Virtualbox. Wirtualizacja. <https://www.virtualbox.org>. ost. dost. 17 listopada 2023.
- [29] M. R. W.B. Floss. <https://www.mandiant.com/>. ost. dost. 21 czerwca 2022.
- [30] Wikipedia. Virustotal. <https://pl.wikipedia.org/wiki/VirusTotal>. ost. dost. 20 października 2023.
- [31] Zeltser Security Corp. A linux toolkit for malware analysis. <https://remnux.org>. ost. dost. 2 grudnia 2023.